

- [1] N. Mohan, T. Undeland & W. Robbins, *Power Electronics: Converters, Applications and Design*. John Wiley & Sons, New York-USA, 1989.
- [2] M. Brown/MOTOROLA, *Practical Switching Power Supply Design*. Academic Press, Inc., San Diego, California-USA, 1990.
- [3] R.G. Hof, *Semiconductor Power Electronics*. Van Nostrand Reinhold Company Inc. New York-USA, 1986.
- [4] T. Kenjo, *Power Electronics for the Microprocessor Age*. Oxford Science Publications, Oxford, New York, 1990.
- [5] A.I. Pressman, *Switching Power Supply Design*. McGraw-Hill, Inc., New York-USA, 1991.
- [6] B.W. Williams, *Power Electronics-Devices, Drivers, Applications and Passive Components*. McGraw-Hill, Inc., New York-USA, Second Edition, 1992.
- [7] I. Barbi, *Eletrônica de Potência II*. Publicação Interna, Curso de Pós Graduação em Engenharia Elétrica, UFSC-EEL-INEP, Florianópolis-SC, 1988.
- [8] INPT-LEEI, *Cours d'Electronique Industrielle-Traitement Electronique de L'Energie Electrique-Hacheurs et Onduleurs Autonomes*. Toulouse, França, Edição 1983.
- [9] Yin-Shu Lee, *Computer-Aided Analysis and Design of Switch-Mode Power Supplies*. Marcel Dekker, Inc., New York-USA, 1993.
- [10] M.H. Rashid, *Power Electronics-Circuits, Devices, and Applications*. Prentice-Hall International Editions, Inc., New Jersey, 1988.

CONVERSOR CC-CC À ACUMULAÇÃO DE ENERGIA

4.1. INTRODUÇÃO

Os Conversores CC-CC estudados até o presente momento (conversor Buck e conversor Boost), são também denominados na literatura de conversores CC-CC diretos; isso porque a transferência de potência da entrada do conversor para a saída se processa diretamente, sem a passagem por elementos intermediários acumuladores de energia. Assim, o conversor Buck é naturalmente indicado para as situações onde se deseja alimentar uma carga com características de fonte de corrente contínua, a partir de uma fonte de tensão contínua. Já o conversor Boost é empregado nas alimentações de cargas com características de fonte de tensão contínua, a partir de uma fonte de corrente contínua.

Em muitas aplicações contudo, é comum se encontrar situações onde se deseja controlar o fluxo de potência entre carga e fonte de mesma natureza. Nessas condições a transferência de potência é feita indiretamente através da utilização de componentes acumuladores de energia.

Assim, caso se deseje controlar o fluxo de energia entre uma fonte de tensão contínua e uma carga com característica de fonte de tensão contínua, deve-se empregar um conversor à acumulação indutiva, também conhecido na literatura como conversor Buck-Boost. No caso em que se deseje controlar o fluxo de energia entre uma fonte de corrente contínua e uma carga com característica de fonte de corrente contínua deve-se empregar o conversor à acumulação capacitiva, também conhecido como conversor Cúk. Portanto, tanto o conversor Buck-Boost como o Cúk são conversores CC-CC indiretos. Ambos serão descritos e estudados a seguir, iniciando-se pelo conversor Buck-Boost.

4.2. CONVERSOR CC-CC À ACUMULAÇÃO INDUTIVA (BUCK-BOOST)

4.2.1. INTRODUÇÃO

O conversor CC-CC tipo Buck-Boost é utilizado para controlar o fluxo de potência entre duas fontes de tensão; ou seja, entre uma fonte de tensão e uma carga com características de fonte de tensão.

A transferência de energia, de forma direta, entre duas fontes de mesma natureza é uma impossibilidade na Eletrônica de Potência. Desse modo, quando se pretende transferir energia entre duas fontes de tensão, é imprescindível o uso de um componente armazenador de energia que se comporte como fonte de corrente. O

componente natural que apresenta essa característica é o indutor. Assim, a transferência de energia entre duas fontes de tensão não pode ser feita diretamente, ela exige a colocação de um indutor em um ponto estratégico, de forma que numa primeira etapa a energia proveniente da fonte é armazenada no indutor, e na etapa seguinte ela é transferida à carga.

Os itens que se seguem apresentarão as etapas de funcionamento desse conversor, seu modelo matemático e característica de carga.

4.2.2. PRINCÍPIO DE FUNCIONAMENTO DO CONVERSOR BUCK-BOOST

A estrutura do conversor CC-CC à acumulação indutiva está representada na Fig. 4.1, juntamente com as duas etapas de funcionamento. A carga é representada pela fonte de tensão E_o . Na prática a fonte E_o é constituída por um capacitor C , adequadamente projetado, em paralelo com uma resistência R .

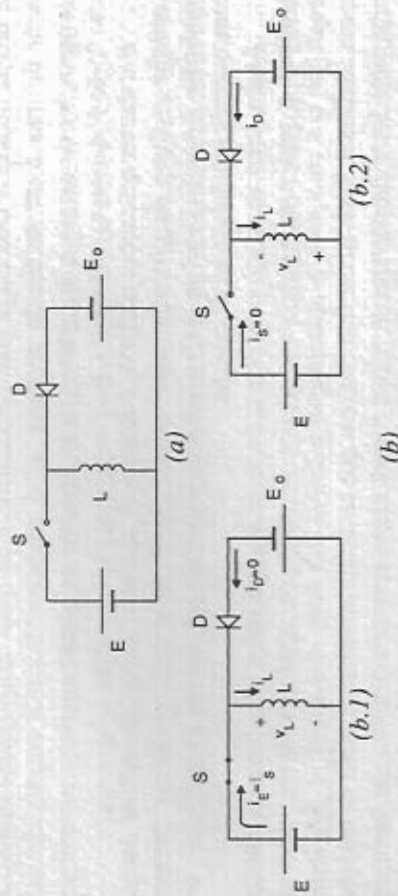


Fig. 4.1: (a) Estrutura do Conversor Buck-Boost; (b) Etapas de funcionamento.

* ETAPAS DE FUNCIONAMENTO

1ª ETAPA (Fig. 4.1.b.1): Na primeira etapa a chave S encontra-se fechada e a energia proveniente da fonte E é acumulada no indutor L . Esta etapa termina quando a chave S é aberta no tempo t_c (Fig. 4.2).

2ª ETAPA (Fig. 4.1.b.2): Com a abertura da chave S a polaridade no indutor L é invertida, polarizando diretamente o diodo D , que entra em condução. A partir desse momento $t = t_c$, a energia acumulada no indutor L durante a 1ª ETAPA transferida à fonte E_o . Observa-se que a polaridade da fonte E_o é invertida em relação aos conversores anteriores. As principais formas de onda relativas a este conversor estão apresentadas na Fig. 4.2 para condução contínua.

Em regime permanente o fluxo magnético no indutor, durante um período de funcionamento, se mantém constante. Desse modo, a integral da tensão v_L no

intervalo em que a chave S permanece fechada é igual a integral dessa mesma tensão durante o intervalo em que S permanece aberta; portanto:

$$\int_0^{t_c} v_L dt = \int_{t_c}^T v_L dt \quad (4.1)$$

Assim:

$$E \cdot t_c = E_o \cdot t_a \quad (4.2)$$

$$\text{onde: } t_a = T - t_c \quad (4.3)$$

Então:

$$\frac{E_o}{E} = \frac{t_c}{t_a} = \frac{t_c}{T - t_c} \quad (4.4)$$

Sabendo que:

$$D = \frac{t_c}{T} \rightarrow \text{razão cíclica} \quad (4.5)$$

e levando a Eq. (4.5) na Eq. (4.4), obtém-se:

$$\boxed{\frac{E_o}{E} = \frac{D}{1-D}} \quad (4.6)$$

A Eq. (4.6) representa a relação de tensão de saída/tensão de entrada do conversor Buck-Boost, e ela está apresentada graficamente na Fig. 4.3.

Constata-se a partir da Fig. 4.3 que o conversor em questão pode ser abaixador ($D < 0,5$), ou elevador ($D > 0,5$). Ele é principalmente empregado em fontes chaveadas, onde a polaridade invertida na saída com relação ao terminal comum da tensão de entrada pode ser desejada. É importante salientar que o conversor Buck-Boost é naturalmente isolado. Essa característica se constitui numa das grandes vantagens desse conversor.

4.2.3. OPERAÇÃO NO MODO DE CONDUÇÃO CONTÍNUA

No conversor Buck-Boost tanto a corrente de entrada como a corrente de saída são descontínuas; contudo, a corrente no indutor L pode ser contínua ou descontínua. Neste item será estudado o comportamento do conversor, para a situação em que a corrente no indutor L seja contínua.

Seja o circuito apresentado na Fig. 4.4, onde a carga é representada pelo capacitor C em paralelo com o resistor R_o . As principais formas de onda estão mostradas na Fig. 4.5. Assim, admitindo que a corrente no indutor L cresce linearmente durante o tempo t_c , tem-se:

$$\Delta I = \frac{E}{L} \cdot t_c = \frac{V_o}{L} \cdot (T - t_c) \quad (4.7)$$

Assim:

$$\frac{V_o}{E} = \frac{D}{1 - D} \quad (4.8)$$

onde $\Delta I = I_M - I_m$ representa a ondulação da corrente no indutor L .

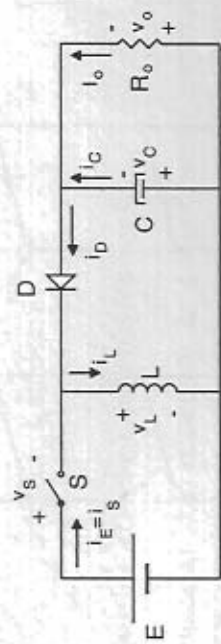


Fig. 4.4: Conversor Buck-Boost com carga RC.

Admitindo um rendimento de 100%, então:

$$E \cdot I_{Emd} = V_o \cdot I_o \quad (4.9)$$

Substituindo a Eq. (4.8) na Eq. (4.9), determina-se a relação entre as correntes médias de entrada e saída, ou seja:

$$E \cdot I_{Emd} = E \cdot \frac{D}{(1 - D)} \cdot I_o \quad (4.10)$$

$$\frac{I_{Emd}}{I_o} = \frac{D}{1 - D} \quad (4.11)$$

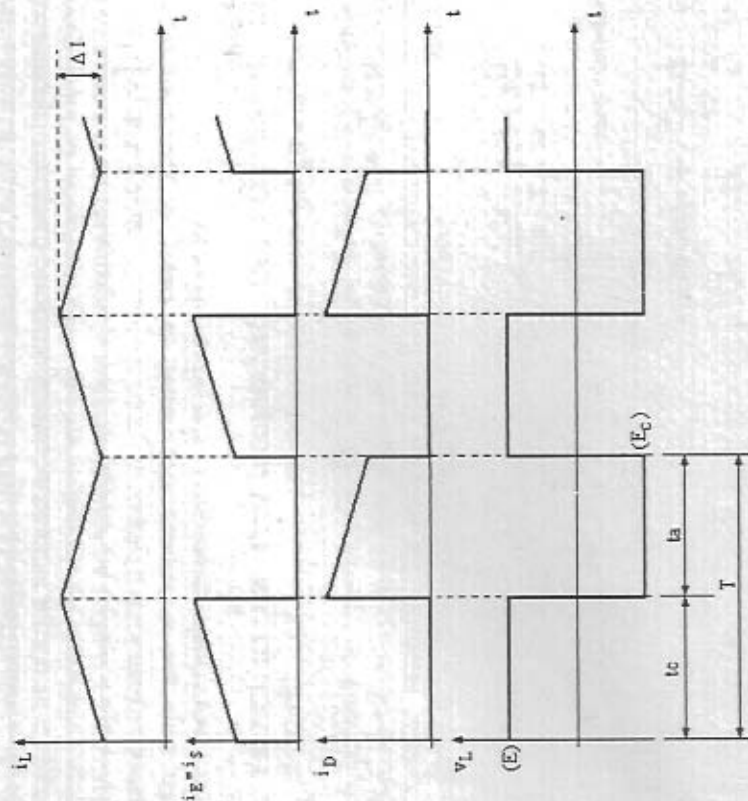


Fig. 4.2: Principais formas de onda.

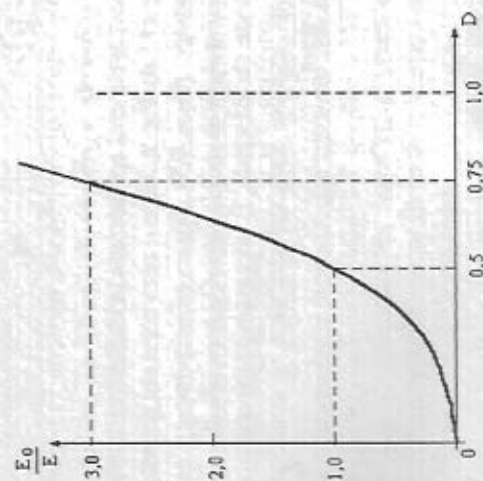


Fig. 4.3: Característica de transferência do conversor à acumulação indutiva.

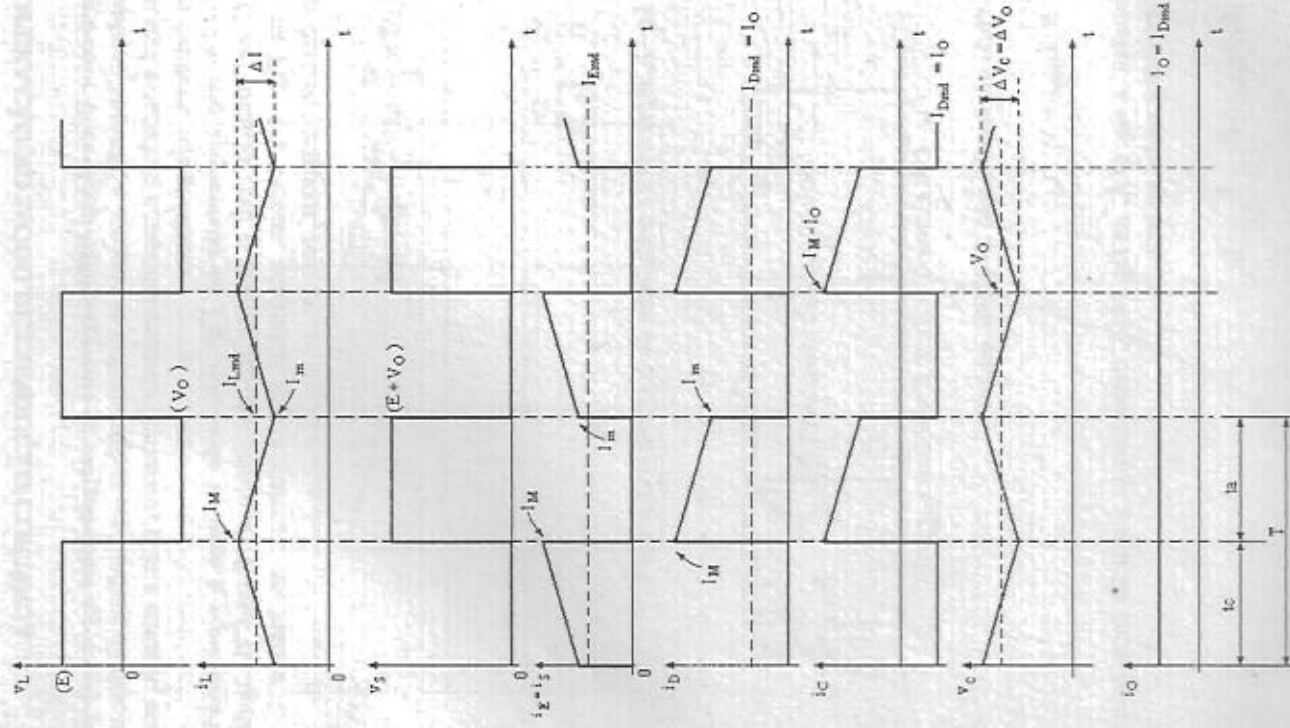


Fig. 4.5: Principais formas de onda do Conversor Buck-Boost operando no modo de condução contínua.

A partir da Eq. (4.8) conclui-se que para o modo de condução contínua a tensão média na carga depende apenas da tensão da fonte de alimentação E e da razão cíclica D . Portanto, as variações na tensão de entrada podem ser compensadas agindo-se na razão cíclica D , de forma a manter a tensão média na carga constante. A Eq. (4.8) pode ser reescrita em função de E e V_o ; ou seja:

$$D = \frac{V_o}{E + V_o} \quad (4.12)$$

Observa-se, portanto, que se a tensão média na carga for mantida constante, a razão cíclica máxima D_{\max} será obtida quando a tensão de alimentação E atingir seu valor mínimo e vice-versa.

A corrente média fornecida pelo indutor L à carga, é a própria corrente média que passa pelo diodo D , isto é:

$$I_o = I_{Dmd} = \frac{1}{T} \cdot \int_0^T i_D(t) dt \quad (4.13)$$

Logo:

$$I_o = I_{Dmd} = (I_M + I_m) \cdot \frac{(1-D)}{2} \quad (4.14)$$

a) DETERMINAÇÃO DOS VALORES DE I_M e I_m

A determinação dos valores de I_M e I_m é muito importante para o dimensionamento da chave de potência S , pois essas correntes circulam por essa chave.

Através da Eq. (4.7) obtém-se:

$$E = \frac{L}{t_C} \cdot \Delta I \quad (4.15)$$

$$\text{onde: } \left. \begin{aligned} \Delta I &= I_M - I_m \\ t_C &= D \cdot T \end{aligned} \right\} \quad (4.16)$$

Desse modo tem-se:

$$E = \frac{L}{D \cdot T} \cdot (I_M - I_m) \quad (4.17)$$

Com as Eqs. (4.17) e (4.14) é possível determinar-se I_m e I_M , cujos valores são dados a seguir:

$$I_M = \frac{I_o}{(1-D)} + \frac{D \cdot E}{2 \cdot L \cdot f} \quad (4.18)$$

$$I_m = \frac{I_o}{(1-D)} - \frac{D \cdot E}{2 \cdot L \cdot f} \quad (4.19)$$

A partir da Fig. 4.5 verifica-se que a tensão máxima na chave S é dada por:

$$V_{S\max} = E_{\max} + V_o \quad (4.20)$$

b) DETERMINAÇÃO DA ONDULAÇÃO DE CORRENTE ΔI E DA ONDULAÇÃO DE TENSÃO ΔV_o NA SAÍDA DO CONVERSOR.

A ondulação de corrente pode ser determinada através da Eq. (4.15), onde t_c é substituído por $D \cdot T$. Assim:

$$\Delta I = \frac{E \cdot D \cdot T}{L} \quad (4.21)$$

ou ainda:

$$\Delta I = \frac{D \cdot E}{f \cdot L} \quad (4.22)$$

Em geral, o valor de ΔI é fornecido e, a partir dele, calcula-se o valor do indutor L , de forma que a ondulação máxima de corrente, especificada no projeto, seja respeitada em toda a faixa de operação do conversor. Desse modo:

$$L = \frac{D \cdot E}{f \cdot \Delta I_{\max}} \quad (4.23)$$

Durante o tempo de condução da chave S, o capacitor C fornece energia para a carga. A corrente média de descarga durante o tempo t_c é a própria corrente média na carga (Veja Fig. 4.5). Portanto, a ondulação de tensão no capacitor pode ser calculada da seguinte maneira:

$$\Delta V_C = \Delta V_o = \frac{1}{C} \cdot \int_0^{t_c} I_o \cdot dt = \frac{1}{C} \cdot I_o \cdot t_c \quad (4.24)$$

Levando a expressão (4.16) em (4.24), obtém-se:

$$\Delta V_C = \Delta V_o = \frac{D \cdot I_o}{f \cdot C} = \frac{D \cdot V_o}{f \cdot R_o \cdot C} \quad (4.25)$$

Para as situações em que ΔV_o é especificado, calcula-se o valor do capacitor a partir da Eq. (4.26), isto é:

$$C = \frac{D \cdot I_o}{f \cdot \Delta V_C} = \frac{D \cdot V_o}{f \cdot R_o \cdot \Delta V_C} \quad (4.26)$$

Desse modo, o filtro de saída do conversor Buck-Boost fica definido.

4.2.4. OPERAÇÃO NO MODO DE CONDUÇÃO DESCONTÍNUA

A Fig. 4.6 mostra as principais formas de onda para o modo de condução descontínua, cujo circuito de potência é o mesmo apresentado na Fig. 4.4.

A energia armazenada no indutor L durante o tempo de condução da chave S é dada pela expressão (4.27):

$$\text{Energia} = \frac{1}{2} L \cdot I_M^2 \quad (4.27)$$

Essa mesma energia é transferida para o estágio de saída de forma a suprir a carga. Considerando que essa transferência de energia se processa sem perdas, então:

$$\text{Energia} = \frac{P_o}{f} = \frac{1}{2} L \cdot I_M^2 \quad (4.28)$$

onde: $P_o = V_o \cdot I_o \rightarrow$ Potência de saída.
 $f \rightarrow$ frequência de chaveamento

Através da Eq. (4.28) obtém-se:

$$I_M^2 = \frac{2 \cdot P_o}{f \cdot L} \quad (4.29)$$

sendo que: $I_M = \frac{E}{L} \cdot t_c$

onde $t_c = DT$. Desse modo:

$$(4.30)$$

$$I_M = \frac{E}{L} \cdot D \cdot T = \frac{D \cdot E}{f \cdot L} \quad (4.31)$$

Substituindo a Eq. (4.31) em (4.29), tem-se:

$$\left(\frac{D \cdot E}{f \cdot L} \right)^2 = \frac{2 \cdot P_o}{f \cdot L} \quad (4.32)$$

$$P_o = \frac{(V_o)^2}{R_o} \quad (4.33)$$

Assim:

$$\left(\frac{D \cdot E}{f \cdot L} \right)^2 = \frac{2 \cdot (V_o)^2}{f \cdot L \cdot R_o} \quad (4.34)$$

A partir da Eq. (4.34) obtém-se a relação entre as tensões de entrada e saída, dada abaixo:

$$\frac{V_o}{E} = D \cdot \sqrt{\frac{R_o}{2 \cdot f \cdot L}} \quad (4.35)$$

Portanto, no modo de condução descontinua a relação (V_o / E) , depende não só da razão cíclica D mas também da resistência de carga R_o . Essa característica se constitui em uma desvantagem do modo de operação em condução descontinua, tendo em vista que para manter a tensão média na carga V_o constante, o circuito de controle deve variar a razão cíclica D de maneira a compensar não só as variações na tensão da fonte de alimentação E , como também as variações na corrente média de carga I_o , devido as mudanças na resistência de carga R_o .

* DETERMINAÇÃO DA ONDULAÇÃO DE CORRENTE ΔI E DA ONDULAÇÃO DE TENSÃO ΔV_c .

No modo de condução descontinua a ondulação de corrente ΔI se confunde com o valor de I_M . Assim, a partir da Eq. (4.31), tem-se:

$$\Delta I = \frac{D \cdot E}{f \cdot L} \quad (4.36)$$

Para uma dada potência máxima de carga, a situação mais crítica ocorre quando a razão cíclica for máxima D_{max} , com a menor tensão da fonte de alimentação E_{min} . Desse modo:

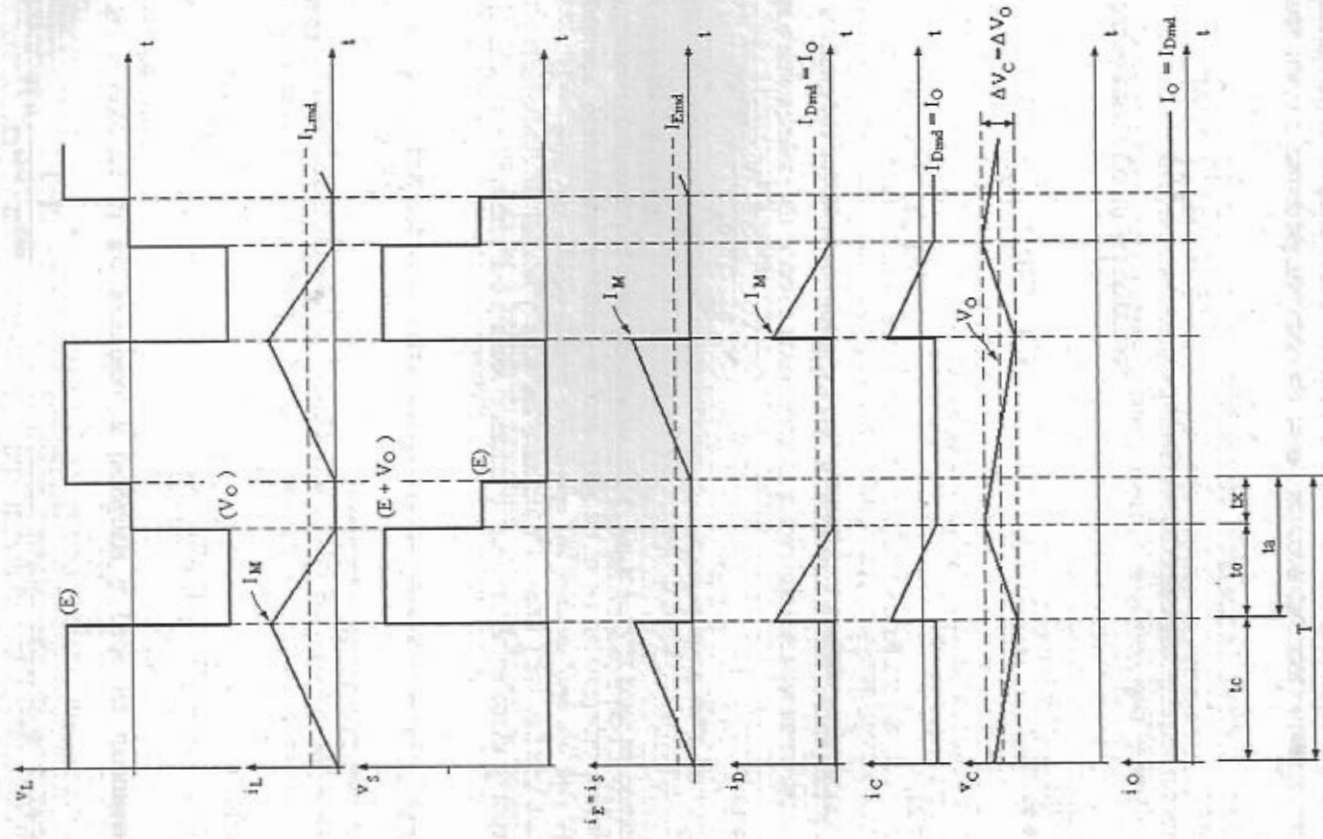


Fig. 4.6: Principais formas de onda para operação em condução descontinua.

$$\Delta I = \frac{D_{\max} \cdot E_{\min}}{f \cdot L} \quad (4.37)$$

Se o valor de ΔI for conhecido, a indutância L pode ser determinada diretamente, isto é:

$$L = \frac{D \cdot E}{f \cdot \Delta I} \quad (4.38)$$

ou ainda:

$$L = \frac{(D \cdot E)^2}{2 \cdot f \cdot P_o} \quad (4.39)$$

É importante salientar que durante o tempo de abertura t_a da chave S , toda a energia armazenada no indutor L deve ser transferida à carga. Isso significa que o valor de D_{\max} deve ser rigorosamente controlado de maneira que ele não seja ultrapassado, ocasionando a entrada do conversor no modo de condução contínua modificando completamente o seu funcionamento. O valor de D_{\max} pode ser obtido a partir da expressão (4.40):

$$D_{\max} = \frac{V_o}{V_o + E_{\min}} \quad (4.40)$$

A ondulação de tensão no capacitor é calculada através da equação seguinte:

$$\Delta V_C = \frac{1}{C} \cdot \int_0^{t_o} i_C(t) dt \quad (4.41)$$

$$\text{onde: } i_C(t) = -\frac{I_M}{t_o} \cdot t + (I_M - I_o) \quad (4.42)$$

Resolvendo a Eq. (4.41) obtém-se:

$$\Delta V_C = \frac{1}{C} \left(\frac{I_M}{2} - I_o \right) \cdot t_o \quad (4.43)$$

Mantendo o conversor operando no modo de condução descontínua o valor máximo de ΔV_C ocorre quando $t_o = t_a$. Logo:

$$\Delta V_C = (I_M - 2 \cdot I_o) \cdot \frac{(1-D)}{2 \cdot f \cdot C} \quad (4.44)$$

ou ainda:

$$C = (I_M - 2 \cdot I_o) \cdot \frac{(1-D)}{2 \cdot f \cdot \Delta V_C} \quad (4.45)$$

Em geral, devido ao alto valor de ΔI , a ondulação de tensão resultante é de valor muito elevado, implicando no emprego de capacitores com baixa resistência série equivalente e alta capacitância.

4.2.5. OPERAÇÃO NO MODO DE CONDUÇÃO CRÍTICA

A Fig. 4.7. apresenta as principais formas de onda para condução crítica. Por definição, na condução crítica a corrente no indutor L se anula no exato instante em que a chave S é recolocada em condução. Desse modo, o limite da descontinuidade ocorre para $I_m = 0$. Portanto, a partir da Eq. (4.19) é possível determinar a indutância para a qual a condução é crítica, isto é:

$$L_{CR} = \frac{D \cdot E \cdot (1-D)}{2 \cdot f \cdot I_o} \quad (4.46)$$

No modo de condução crítica a relação entre a tensão média na carga e a tensão de alimentação E é dada pela seguinte expressão:

$$\frac{V_o}{E} = \frac{D}{1-D} \quad (4.47)$$

Levando a Eq. (4.47) em (4.46) obtém-se:

$$L_{CR} = \frac{V_o \cdot (1-D)^2}{2 \cdot f \cdot I_o} \quad (4.48)$$

Assim, para uma dada corrente média de saída e razão cíclica D a Eq. (4.48) fornece o valor de indutância para a qual a condução se torna crítica.

4.2.6. CARACTERÍSTICA DE CARGA

Sejam as formas de onda para condução descontínua no indutor, apresentadas na Fig. 4.6. Pela igualdade das variações de fluxo obtém-se a seguinte relação:

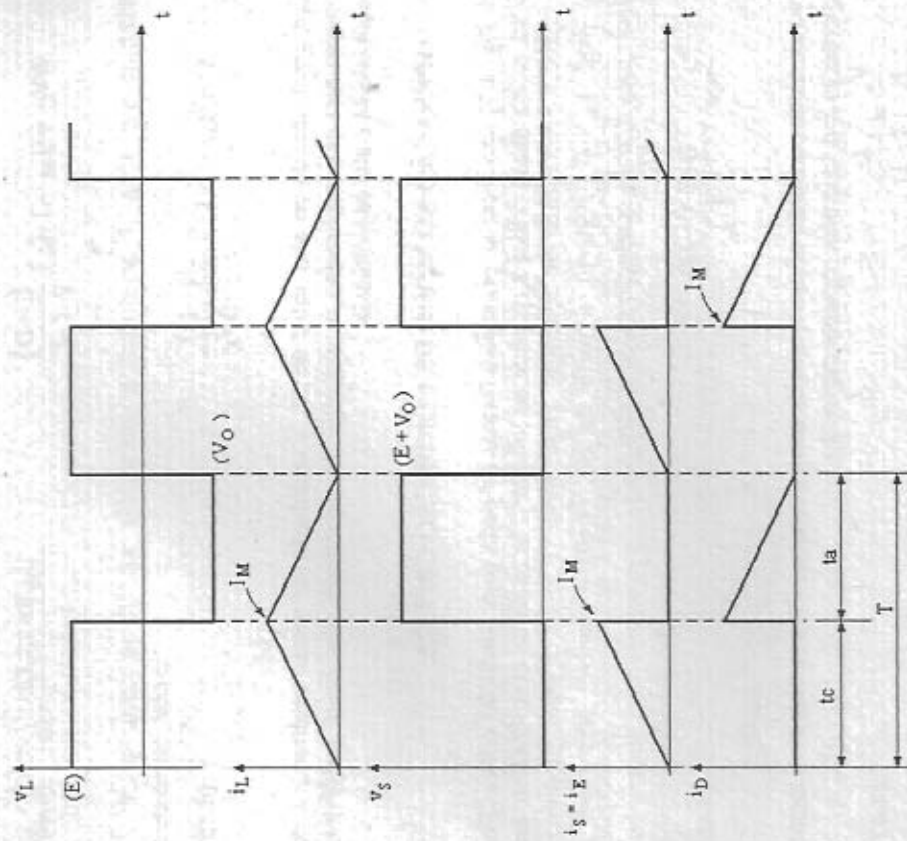


Fig. 4.7: Principais formas de onda para operação em condução crítica.

$$\Delta\phi_E = \Delta\phi_o \quad (4.49)$$

$$\Delta\phi_E = E \cdot t_c \quad (4.50)$$

$$\Delta\phi_o = V_o \cdot t_o$$

Desse modo:

$$E \cdot t_c = V_o \cdot t_o \quad (4.51)$$

ou ainda:

$$\frac{V_o}{E} = \frac{t_c}{t_o} = a \quad (4.52)$$

A corrente média na carga, a partir da Fig. 4.6, é representada pela expressão (4.53).

$$I_o = \frac{I_M \cdot t_o}{2 \cdot T} \quad (4.53)$$

onde:

$$I_M = \frac{V_o}{L} \cdot t_o \quad (4.54)$$

logo:

$$t_o = \frac{I_M \cdot L}{V_o} \quad (4.55)$$

Assim:

$$I_o = \frac{I_M}{2 \cdot T} \cdot \frac{I_M \cdot L}{V_o} \quad (4.56)$$

Contudo, a corrente máxima I_M também pode ser expressa através da seguinte equação:

$$I_M = \frac{E}{L} \cdot t_c \quad (4.57)$$

Então:

$$I_o = \frac{E^2 \cdot t_c^2}{L} \cdot \frac{L}{2 \cdot T \cdot V_o} = \frac{T \cdot E^2}{2 \cdot L \cdot V_o} \cdot \left(\frac{t_c}{T} \right)^2 \quad (4.58)$$

Dividindo a Eq. (4.58) por V_o , tem-se:

$$\frac{I_o}{V_o} = \frac{T}{2 \cdot L} \cdot \left(\frac{E}{V_o} \right)^2 \cdot \left(\frac{t_c}{T} \right)^2 \quad (4.59)$$

sabendo que:

$$a = \frac{V_o}{E} \quad e \quad D = \frac{t_c}{T} \quad (4.60)$$

e como $R_o = \frac{V_o}{I_o}$ (4.61)

obtem-se:

$$\frac{1}{R_o} = \frac{T}{2 \cdot L} \cdot \frac{D^2}{a^2} \quad (4.62)$$

portanto,

$$a^2 = \frac{R_o \cdot T}{2 \cdot L} \cdot D^2 \quad (4.63)$$

ou ainda:

$$a = \sqrt{\frac{R_o \cdot T}{2 \cdot L}} \cdot D \quad (4.64)$$

A Eq. (4.64) só é válida durante o modo de condução descontínua, ou seja: $t_o < t_a$. No modo de condução contínua é válida a seguinte expressão:

$$a = \frac{D}{1-D} = \frac{V_o}{E} \quad (4.65)$$

Portanto, o limite da descontinuidade da corrente no indutor ocorre quando as Eqs. (4.65) e (4.64) se igualarem, ou seja:

$$a = \frac{D}{1-D} = \sqrt{\frac{R_o \cdot T}{2 \cdot L}} \cdot D \quad (4.66)$$

Por outro lado: $D = \frac{a}{1+a}$ (4.67)

Dessa forma:

$$a = \sqrt{\frac{R_o \cdot T}{2 \cdot L}} - 1$$

(4.68)

Com as expressões (4.64), (4.65) e (4.68) são traçadas as curvas representadas na Fig. 4.8.

Verifica-se que na região de condução contínua (A), o valor de "a" não depende da carga, ou seja; de R_o . Já na região de condução descontínua (B), a tensão de saída, para uma dada tensão de entrada mantida constante, aumenta na medida em que R_o aumenta. O valor de R_o é definido através da Eq. (4.69):

$$\bar{R}_o = \sqrt{\frac{R_o \cdot T}{2 \cdot L}} \quad (4.69)$$

4.2.7. CONTROLE DO CONVERSOR BUCK-BOOST EMPREGANDO MODULAÇÃO PWM

Uma imagem da tensão de saída $[V_o \cdot R_1 / (R_1 + R_2)]$ é somada com uma tensão de referência (V_{ref}) no interior do amplificador de erro, gerando um sinal (V_{erro}), que é enviado ao comparador PWM. No interior do bloco comparador PWM o sinal V_{erro} é comparado com uma tensão dente de serra (V_{serra}), definindo os instantes de condução e bloqueio da chave S. A Fig. 4.9 representa, de forma simplificada, o controle do conversor Buck-Boost empregando modulação PWM.

4.3. CONVERSOR CC-CC À ACUMULAÇÃO CAPACITIVA (CONVERSOR CÚK)

4.3.1. INTRODUÇÃO

O conversor CC-CC a acumulação capacitiva tem a propriedade de realizar a transferência de energia entre duas fontes CC de corrente. Na literatura ele é mais conhecido como Conversor Cúk, devido ao seu inventor [8]. O conversor Cúk pode ser encarado como sendo a associação de um conversor Boost com um conversor Buck; pois ele apresenta uma entrada com características de fonte de corrente, enviando energia a um capacitor (característica de fonte de tensão), e em seguida tem-se o capacitor (entrada fonte de tensão), transferindo energia para uma carga com característica de fonte de corrente. Portanto, o conversor Cúk é na realidade um conversor Boost-Buck, dual do conversor Buck-Boost.

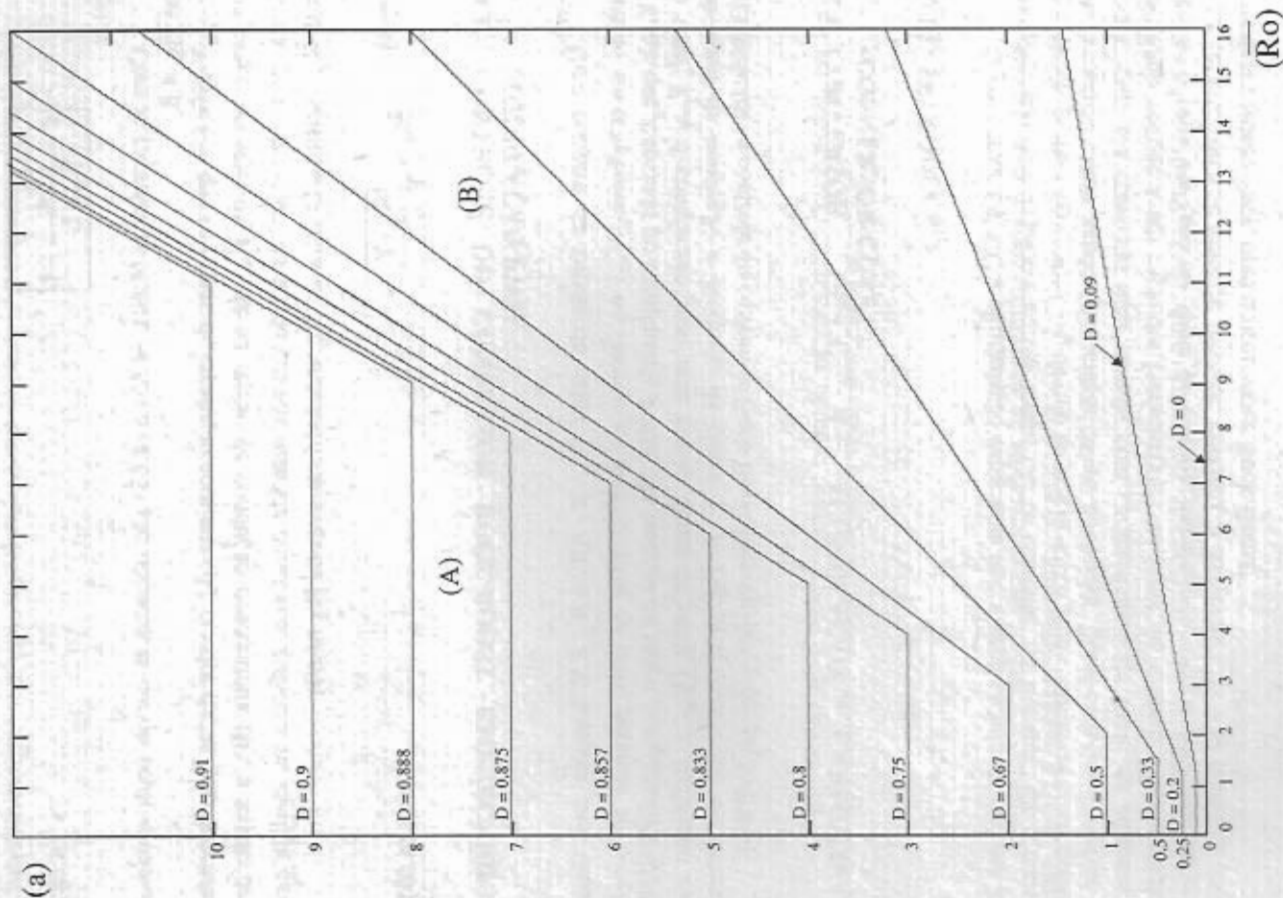


Fig. 4.8 - Características externas do conversor CC-CC a acumulação indutiva (e capacitiva).

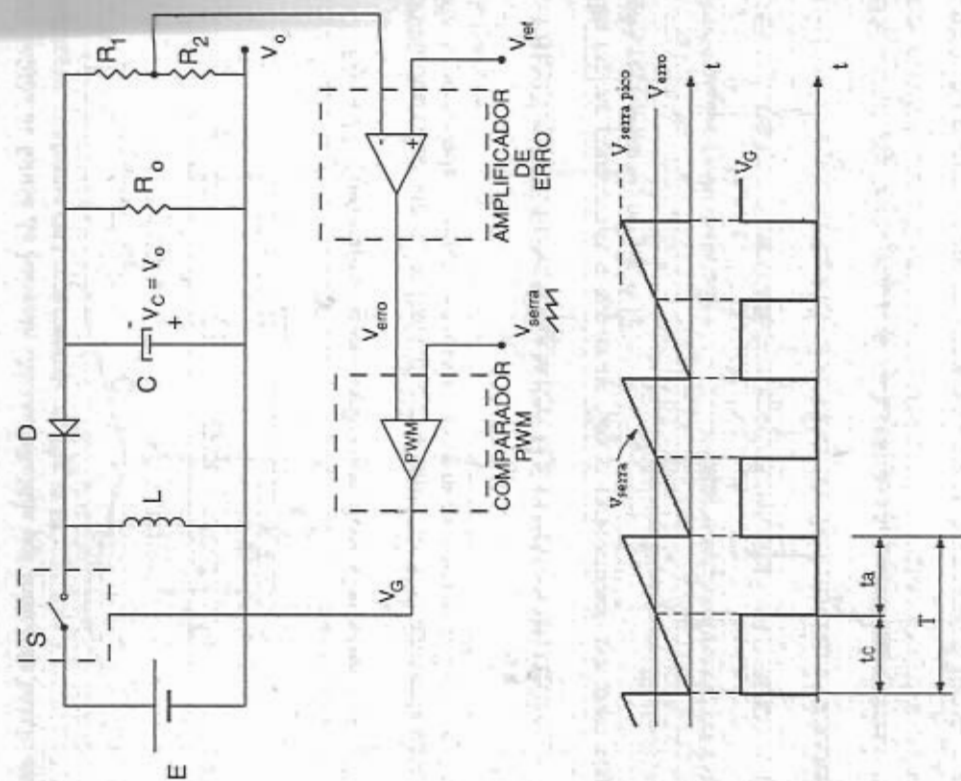


Fig. 4.9: Controle do conversor Buck-Boost com modulação PWM.

A estrutura do conversor CC-CC a acumulação capacitiva está representada na Fig. 4.10.

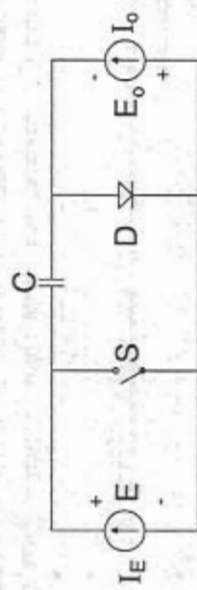


Fig. 4.10: Conversor a acumulação capacitiva (Conversor Cúk).

Na prática as fontes de corrente são constituídas por fontes de tensão em série com indutores, conforme está representado na Fig. 4.11.

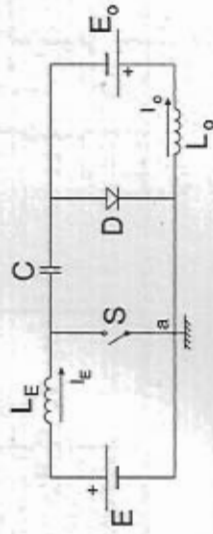


Fig. 4.11: Conversor a acumulação capacitiva (Conversor Cúk).

Similarmente ao conversor Buck-Boost, o conversor Cúk apresenta uma tensão de saída de polaridade invertida em relação ao terminal comum da fonte de tensão de entrada (nó a).

4.3.2. PRINCÍPIO DE FUNCIONAMENTO E FORMAS DE ONDA

Em regime permanente o conversor Cúk é caracterizado por duas etapas de operação, representadas na Fig. 4.12.

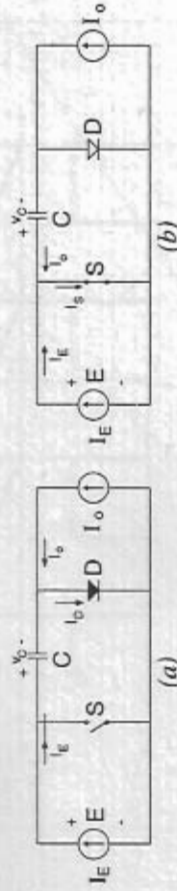


Fig. 4.12: Etapas de operação do conversor Cúk.

1ª ETAPA: Na primeira etapa de operação a chave S permanece aberta. A energia proveniente da fonte de corrente de entrada I_E é acumulada no capacitor C, através do diodo D, que também conduz a corrente de carga I_O (Fig. 4.12.a).

2ª ETAPA: Na segunda etapa de operação a chave S é mantida fechada; o diodo D é polarizado inversamente e permanece bloqueado. A energia acumulada, durante a 1ª etapa, no capacitor C é enviada, através da chave S, para a fonte de corrente I_O (Fig. 4.12.b).

As principais formas de onda estão apresentadas na Fig. 4.13, para a condição de regime permanente.

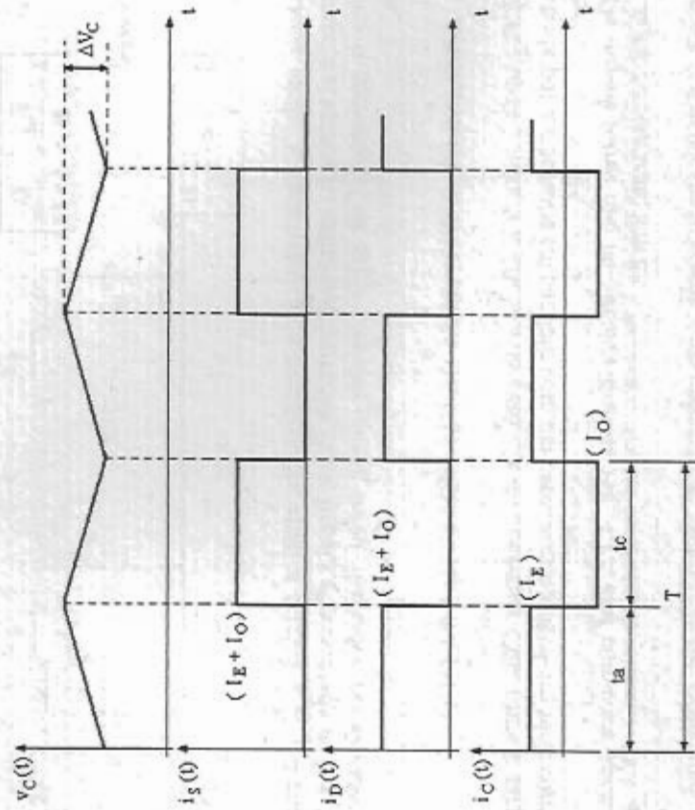


Fig. 4.13: Principais formas de onda do conversor Cúk.

* CARACTERÍSTICAS DE TRANSFERÊNCIA ESTÁTICA

Em regime permanente a quantidade de carga entregue ao capacitor na 1ª etapa, é igual a quantidade de carga devolvida pelo capacitor na 2ª etapa. Assim, a seguinte relação é verdadeira:

$$I_E \cdot t_a = I_O \cdot t_c \quad (4.70)$$

ou ainda:

$$b = \frac{I_O}{I_E} = \frac{t_a}{t_c} = \frac{1-D}{D} \quad (4.71)$$

Para que a potência seja preservada tem-se

$$P_E = P_O \Rightarrow E \cdot I_E = E_O \cdot I_O \quad (\text{Fig. 4.11})$$

Logo, a relação entre tensões é dada por:

$$a = \frac{E_0}{E} = \frac{D}{1-D} \quad (4.72)$$

Portanto:

$$b = \frac{1}{a} = \frac{1-D}{D} \quad (4.73)$$

Desse modo, a característica de transferência estática é igual à obtida para o conversor à acumulação indutiva (Conversor Buck-Boost), representada na Fig. 4.3. Portanto o conversor Cúk pode também operar como abaixador ou elevador de tensão.

4.3.3. ANÁLISE QUANTITATIVA DE UM CIRCUITO PRÁTICO

A Fig. 4.14.a mostra o circuito de potência do conversor Cúk, onde a carga é constituída por um resistor em paralelo com um capacitor, e ambos em série com um indutor.

Da mesma forma que no circuito ideal da Fig. 4.12, este conversor apresenta duas etapas de operação, isto é:

1ª ETAPA (Fig. 4.14.b): A chave S está aberta \Rightarrow o diodo D está conduzindo. As correntes i_{LE} e i_o circulam pelo diodo D. Durante esta etapa o capacitor C é carregado pela energia proveniente da fonte de entrada E e da indutância L_E . A corrente i_{LE} decresce devido à tensão V_C ser maior que E. A energia armazenada em L_o é transferida para a carga; portanto, a corrente i_o também decresce.

2ª ETAPA (Fig. 4.14.c): Durante esta etapa a chave S permanece fechada e o diodo D bloqueado. As correntes i_{LE} e i_o circulam agora pela chave S. O capacitor C se descarrega, transferindo sua energia para a carga e para a indutância L_o . Neste caso a corrente i_o cresce. A fonte de entrada E alimenta o indutor L_E causando o crescimento da corrente i_{LE} .

As principais formas de onda em regime permanente são apresentadas na Fig. 4.15. A tensão média nos indutores durante um período de funcionamento é nula.

a) DETERMINAÇÃO DAS ONDULAÇÕES DE CORRENTE

a.1) CÁLCULO DE ΔI_E (ONDULAÇÃO DA CORRENTE DE ENTRADA)

A ondulação da corrente de entrada é a própria ondulação de corrente no indutor L_E .

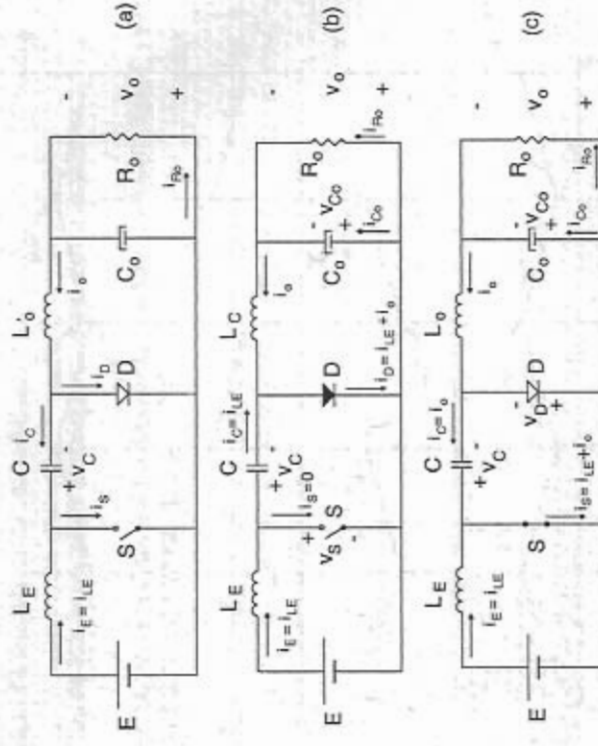


Fig. 4.14: Circuito de potência real do conversor Cúk (Etapas de funcionamento).

Admitindo que a corrente de entrada cresce linearmente durante o espaço de tempo em que a chave S permanece fechada, tem-se:

$$E = L_E \cdot \frac{\Delta I_E}{\Delta t} \quad (4.74)$$

$$\text{onde: } \Delta I_E = I_{EM} - I_{Em} \quad (4.75)$$

$$\Delta t = t_c \rightarrow \text{tempo de condução da chave S} \quad (4.76)$$

Logo:

$$\Delta I_E = \frac{E \cdot t_c}{L_E} \quad (4.77)$$

$$\text{Sabendo que: } \frac{t_c}{T} = D \Rightarrow t_c = D \cdot T = \frac{D}{f} \quad (4.78)$$

tem-se:

$$\Delta I_E = \frac{E \cdot D}{f \cdot L_E} \quad (4.79)$$

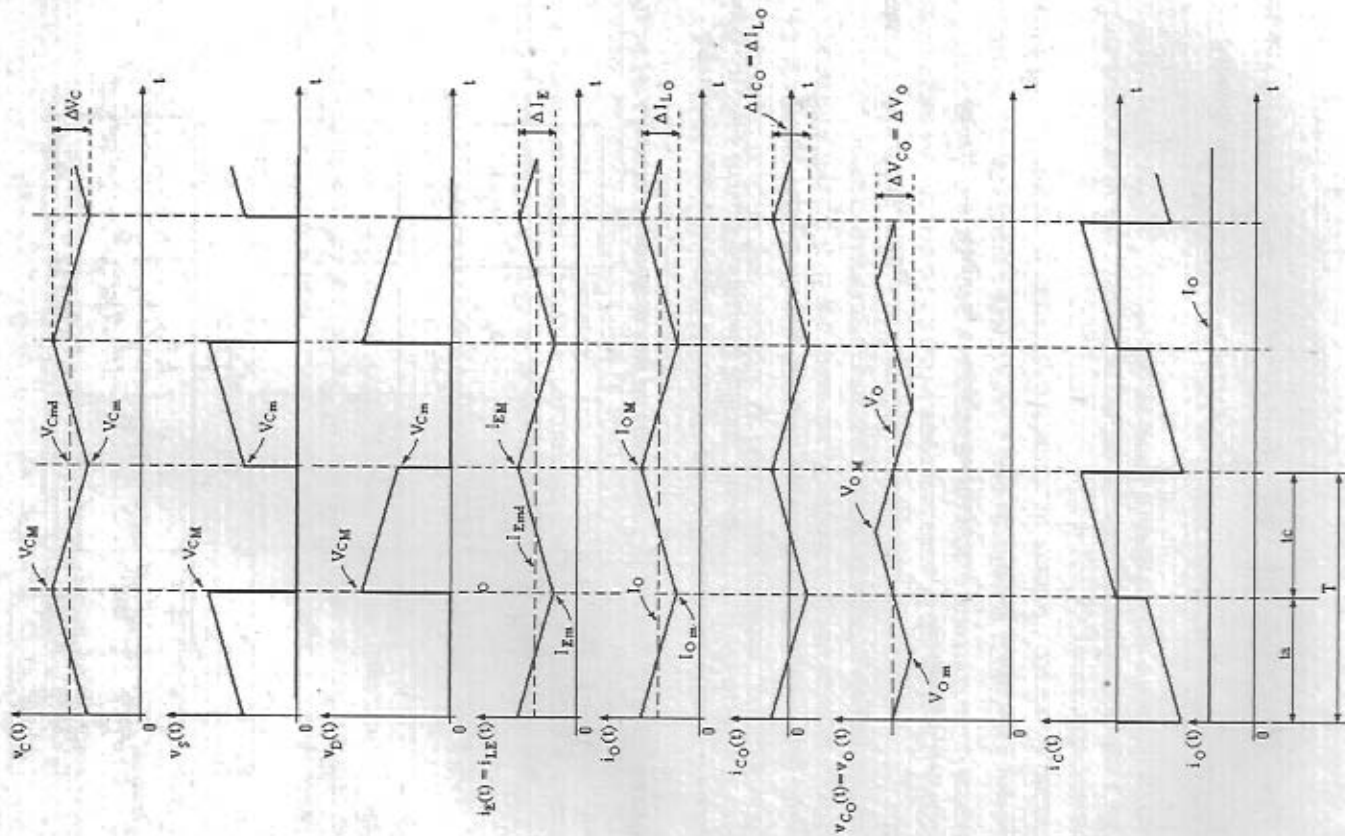


Fig. 4.15: Principais formas de onda para regime permanente.

Sendo f a frequência de chaveamento.

A Eq. (4.79) representa a ondulação da corrente de entrada.

★ **RELAÇÃO ENTRE A TENSÃO MÉDIA NO CAPACITOR C (V_{cmd}) E A TENSÃO DE ENTRADA E.**

Durante o tempo de abertura t_a da chave S o capacitor C se carrega. A corrente de entrada i_E cai linearmente, em virtude da tensão média no capacitor C ser maior que a tensão de entrada E. Assim:

$$E - V_{cmd} = -L_E \cdot \frac{\Delta I_E}{t_a} \quad (4.80)$$

$$\text{ou} \quad \Delta I_E = \frac{-(E - V_{cmd}) \cdot t_a}{L_E} \quad (4.81)$$

Igualando as Eqs. (4.77) e (4.81) obtém-se:

$$E \cdot t_c = (V_{cmd} - E) \cdot t_a \quad (4.82)$$

Sabendo que $t_a = (1 - D) \cdot T$, e substituindo a Eq. (4.78) em (4.82), obtém-se a relação entre a tensão média no capacitor C e a tensão de entrada E, apresentada a seguir:

$$V_{cmd} = \frac{E}{1 - D} \quad (4.83)$$

a.2) **CÁLCULO DE ΔI_o (ONDULAÇÃO DA CORRENTE NO INDUTOR L_o).**

Durante o tempo de condução do diodo D a corrente I_{Lo} decresce linearmente; desse modo:

$$V_o = -L_o \cdot \frac{\Delta I_{Lo}}{t_a} \quad (4.84)$$

onde:

$$t_a = (1 - D) \cdot T$$

Assim:

$$\Delta I_{L_o} = \frac{-V_o \cdot (1-D)}{f \cdot L_o} \quad (4.85)$$

A interpretação física do sinal negativo apresentado na Eq. (4.85), significa que o sentido da corrente que circula pelo indutor L_o , está invertido em relação a polaridade da tensão aplicada nos terminais do indutor.

* RELAÇÃO ENTRE A TENSÃO MÉDIA NA CARGA (V_o) E A TENSÃO DE ENTRADA E .

Durante o tempo t_c a corrente i_o cresce linearmente, conforme mostra a Fig. 4.15. Assim:

$$V_{Cmd} - V_o = -L_o \cdot \frac{\Delta I_{L_o}}{t_c} \quad (4.86)$$

Obtendo-se ΔI_{L_o} através da Eq. (4.84), e igualando-o a Eq. (4.86), tem-se:

$$\Delta I_{L_o} = -\frac{(V_{Cmd} - V_o) \cdot t_c}{L_o} = -\frac{V_o}{L_o} \cdot t_a \quad (4.87)$$

onde:

$$t_c = D \cdot T \quad \text{e} \quad t_a = (1-D) \cdot T \quad (4.88)$$

Desse modo:

$$-\frac{(V_{Cmd} - V_o) \cdot D \cdot T}{L_o} = -\frac{V_o(1-D) \cdot T}{L_o} \quad (4.89)$$

Então:

$$V_{Cmd} = \frac{V_o}{D} \quad (4.90)$$

A Eq. (4.90) mostra a relação entre a tensão média no capacitor C e a tensão média na carga.

A relação entre a tensão média na carga (V_o) e a tensão de entrada E é obtida substituindo-se a Eq. (4.83) em (4.90), ou seja:

$$V_o = \frac{D}{(1-D)} \cdot E \quad (4.91)$$

Levando o valor de V_o , obtido na Eq. (4.91), na Eq. (4.85), determina-se a ondulação de corrente no indutor de filtragem L_o . Assim:

$$\Delta I_{L_o} = \frac{E \cdot D}{f \cdot L_o} \quad (4.92)$$

Conforme pode ser observado o conversor Cúk é baseado na transferência de energia armazenada no capacitor C . Portanto, a corrente de entrada deverá ser sempre contínua. Quando a chave S está fechada as correntes provenientes das indutâncias L_E e L_o circulam pela mesma provocando picos elevados de corrente.

b) DETERMINAÇÃO DAS ONDULAÇÕES DE TENSÃO

b.1) CÁLCULO DE ΔV_C (ONDULAÇÃO DE TENSÃO NO CAPACITOR C)

Durante o tempo t_a , a chave S está aberta e o capacitor C se carrega através da corrente de entrada i_E . A corrente média de carga do capacitor C será I_{Emd} ; assim a ondulação de tensão é dada por:

$$\Delta V_C = \frac{1}{C} \int_0^{t_a} I_{Emd} \cdot dt = \frac{I_{Emd} \cdot t_a}{C} \quad (4.93)$$

A partir da Eq. (4.88), tem-se:

$$\Delta V_C = \frac{I_{Emd} \cdot (1-D)}{f \cdot C} \quad (4.94)$$

A Eq. (4.94) representa a ondulação de tensão no capacitor C .

b.2) CÁLCULO DE ΔV_o (ONDULAÇÃO DE TENSÃO NA CARGA)

A ondulação de tensão na carga é a própria ondulação de tensão no capacitor C_o . Para o estudo deste item será admitido que toda a componente alternada da corrente i_o circula pelo capacitor C_o . Assim: $\Delta I_{C_o} = \Delta I_{L_o}$.

Conforme estudos já realizados em capítulos anteriores a ondulação de tensão no capacitor C_o de saída é máxima quando $D = 0,5 \Rightarrow t_c = T/2$. Desse modo a corrente $i_{C_o}(t)$ adquire a forma representada na Fig. 4.16.

A ondulação de tensão ΔV_o no capacitor C_o se dá durante o tempo $T/2$, assinalado na Fig. 4.16. Logo:

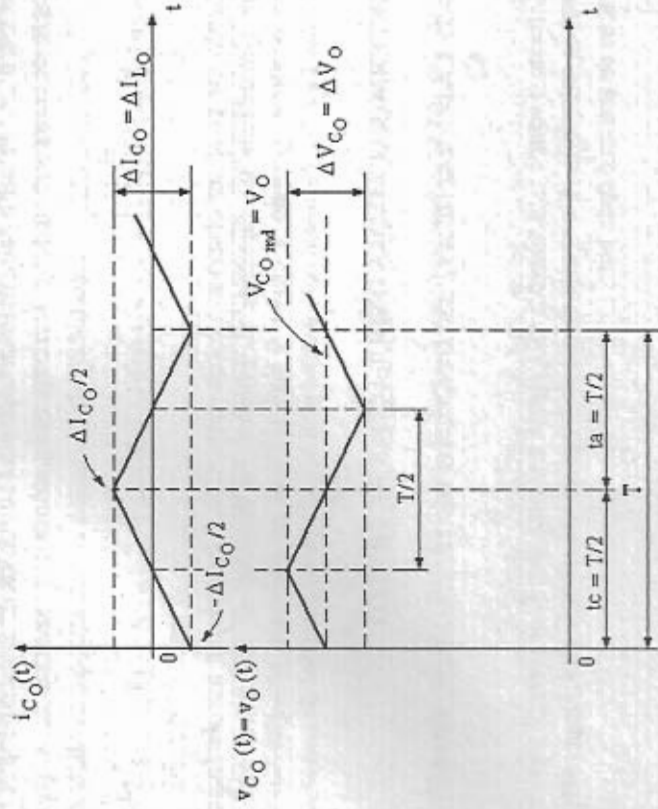


Fig. 4.16: Detalhe da ondulação de tensão ΔV_o e da ondulação de corrente ΔI_{L_o} .

$$\Delta V_o = \Delta V_{C_o} = \frac{1}{C_o} \left[\int_0^{T/4} \frac{\Delta I_{C_o}}{2} \cdot t \cdot dt + \int_0^{T/4} \left(\frac{\Delta I_{C_o}}{2} - \frac{\Delta I_{C_o}}{2} \cdot \frac{4}{T} \cdot t \right) \cdot dt \right] \quad (4.95)$$

ou ainda:

$$\Delta V_o = \frac{\Delta I_{C_o}}{8 \cdot f \cdot C_o} \quad (4.96)$$

A partir da Eq. (4.92), tem-se:

$$\Delta I_{L_o} = \Delta I_{C_o} = \frac{E \cdot D}{f \cdot L_o} \quad (4.97)$$

Então:

$$\Delta V_o = \Delta V_{C_o} = \frac{E \cdot D}{8 \cdot f^2 \cdot L_o \cdot C_o} \quad (4.98)$$

A Eq. (4.98) define a ondulação de tensão na carga R_o .

4.3.4. CARACTERÍSTICA DE CARGA.

Seja uma carga do tipo representado na Fig. 4.17.

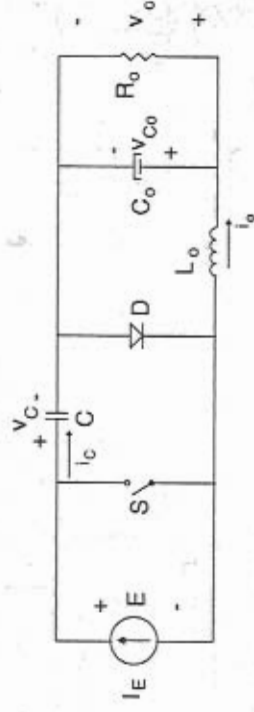


Fig. 4.17: Carga para o estudo das características externas.

Seja um tipo de operação que propicie um valor nulo da tensão v_C , como está representado na Fig. 4.18. Para esta análise considerar-se-á que o indutor L_o é suficientemente grande para evitar as ondulações da corrente i_o .

Pela igualdade das áreas (S_1) e (S_2) obtém-se a relação (4.99).

$$I_E \cdot t_a = I_o \cdot t_o \quad (4.99)$$

Assim:

$$b = \frac{I_o}{I_E} = \frac{t_a}{t_o} \quad (4.100)$$

A tensão média de carga, é igual a tensão média no capacitor C , calculada para o intervalo $(0, t_o)$. Desse modo:

$$V_o = V_{C_{md}} = \frac{V_{CM} \cdot t_o}{2 \cdot T} \quad (4.101)$$

sendo,

$$t_o = \frac{C \cdot V_{CM}}{I_o} \quad (4.102)$$

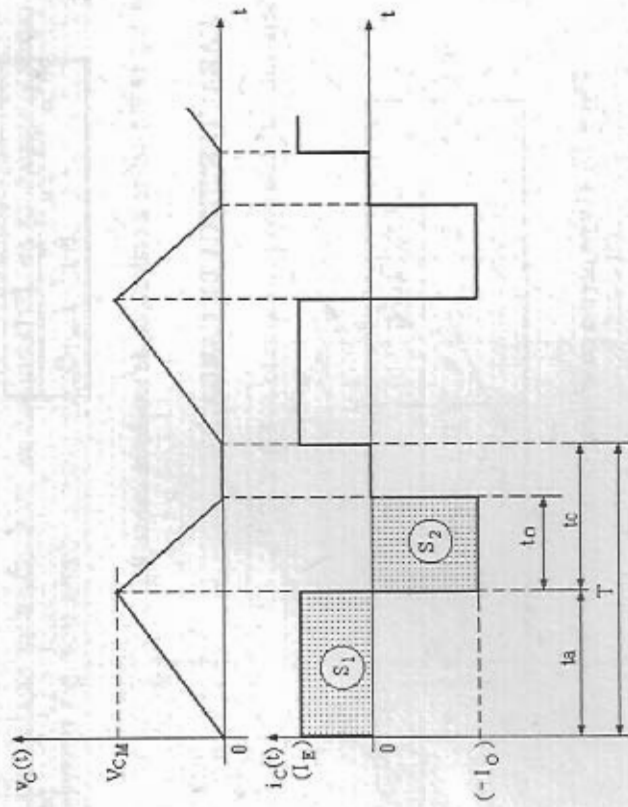


Fig. 4.18: Formas de onda para condução descontínua.

Logo:

$$V_o = \frac{V_{CM}}{2 \cdot T} \cdot \frac{C \cdot V_{CM}}{I_o} \quad (4.103)$$

Como:

$$V_{CM} = \frac{I_E}{C} \cdot t_a \quad (4.104)$$

obtem-se:

$$V_o = \frac{C \cdot (V_{CM})^2}{2 \cdot T \cdot I_o} = \frac{C}{2T} \cdot \frac{I_E^2 \cdot t_a^2}{C^2 \cdot I_o} \quad (4.105)$$

ou

$$V_o = \frac{I_E^2}{I_o^2} \cdot I_o \cdot \frac{T}{2C} \cdot \frac{t_a^2}{T^2} \quad (4.106)$$

Reformulando a Eq. (4.106) e aplicando a Eq. (4.88), obtém-se:

$$\frac{V_o}{I_o} = R_o = \left(\frac{I_E}{I_o} \right)^2 \cdot \frac{T}{2C} \cdot (1-D)^2 \quad (4.107)$$

ou ainda:

$$\left(\frac{I_o}{I_E} \right)^2 = \frac{T}{2 \cdot R_o \cdot C} \cdot (1-D)^2 \quad (4.108)$$

Desse modo:

$$b = \sqrt{\frac{T}{2 \cdot R_o \cdot C} \cdot (1-D)} \quad (4.109)$$

Para condução contínua tem-se:

$$\frac{1}{b} = a = \frac{I_E}{I_o} = \frac{V_o}{E} = \frac{D}{1-D} \quad (4.110)$$

Levando a Eq. (4.110) em (4.109) obtém-se:

$$\frac{D}{1-D} = \sqrt{\frac{2 \cdot R_o \cdot C}{T} \cdot \frac{1}{(1-D)}} \quad (4.111)$$

$$D = \frac{a}{1+a} = \sqrt{\frac{2 \cdot R_o \cdot C}{T}} \quad (4.112)$$

Logo:

$$a = \frac{\sqrt{\frac{2 \cdot R_o \cdot C}{T}}}{1 - \sqrt{\frac{2 \cdot R_o \cdot C}{T}}} \quad (4.113)$$

ou:

$$a = \frac{1}{b} = \frac{1}{\sqrt{\frac{T}{2 \cdot R_o \cdot C} - 1}} \quad (4.114)$$

Portanto:

$$b = \sqrt{\frac{T}{2 \cdot R_o \cdot C} - 1} \quad (4.115)$$

A Eq. (4.115) estabelece o limite de descontinuidade para o conversor à acumulação capacitiva.

Seja a expressão (4.116):

$$\alpha = 1 - D \quad (4.116)$$

Levando a Eq. (4.116) em (4.109); tem-se:

$$b = \sqrt{\frac{T}{2 \cdot R_o \cdot C} \cdot (1 - D)} = \sqrt{\frac{T}{2 \cdot R_o \cdot C} \cdot \alpha} \quad (4.117)$$

A expressão (4.117) é válida para a região de tensão descontinua do capacitor C. Para a região de tensão contínua é válida a Eq. (4.118).

$$b = \frac{1 - D}{D} \quad (4.118)$$

Assim:

$$b = \frac{\alpha}{1 - \alpha} \quad (4.119)$$

A partir das Eqs. (4.115); (4.117) e (4.119) são traçadas as curvas representadas na Fig. 4.8, obtidas por dualidade em relação ao conversor à acumulação indutiva; onde "b" é o dual de "a"; "α" o dual de "D" e $\sqrt{T/(2\tau)} = \sqrt{T/(2 \cdot R_o \cdot C)}$ o dual de $\sqrt{T/(2\tau)} = \sqrt{T \cdot R_o / (2 \cdot L)}$.

Para uma análise comparativa entre à estrutura a acumulação capacitiva e a estrutura à acumulação indutiva, é apresentado o quadro a seguir:

	ACUMULAÇÃO CAPACITIVA	ACUMULAÇÃO INDUTIVA
CONDUÇÃO CONTÍNUA	$b = \frac{\alpha}{1 - \alpha}$	$a = \frac{D}{1 - D}$
CONDUÇÃO CRÍTICA	$b = \sqrt{\frac{T}{2 \cdot R_o \cdot C} - 1}$	$a = \sqrt{\frac{T \cdot R_o}{2 \cdot L} - 1}$
CONDUÇÃO DESCONTÍNUA	$b = \sqrt{\frac{T}{2 \cdot R_o \cdot C} \cdot \alpha}$	$a = \sqrt{\frac{T \cdot R_o}{2 \cdot L} \cdot D}$
DUALIDADE	$b = \frac{I_o}{I_E}$	$a = \frac{V_o}{E}$
	$\alpha = \frac{I_a}{I}$	$D = \frac{I_c}{I}$
	$\sqrt{\frac{T}{2 \cdot \tau}} = \sqrt{\frac{T}{2 \cdot R_o \cdot C}}$	$\sqrt{\frac{T}{2 \cdot \tau}} = \sqrt{\frac{T \cdot R_o}{2 \cdot L}}$

4.4. EXERCÍCIOS

4.4.1. EXERCÍCIOS RESOLVIDOS

- 1^o) Seja a estrutura da Fig. 4.19, onde $E = 48V$ e $R = 10\Omega$. O transistor T opera com uma frequência de 20 kHz e com razão cíclica igual a 0,4.
- Qual o valor da indutância L que estabelece a passagem da condução descontinua para a contínua?
 - Para a indutância obtida no item a), determinar a potência transferida à carga e as correntes de pico no transistor T, no indutor L e no diodo D.
 - Seja L igual a 180 μH. Determinar as mesmas grandezas do item b), mantendo-se a razão cíclica e a potência da carga.
 - Para a razão cíclica mantida igual a 0,4, com um indutor de 50 μH, determinar a tensão média na carga, e o tempo de condução do diodo D. Comente sobre o valor de pico da corrente no indutor L.
 - Determinar o valor da frequência de operação, necessária para garantir a continuidade da corrente no indutor do item d), para a mesma razão cíclica.

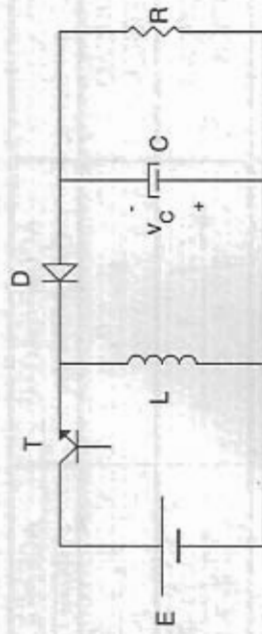


Fig. 4.19: Conversor Buck-Boost.

SOLUÇÃO

- a) O conversor apresentado na Fig. 4.19 é um conversor à acumulação indutiva (conversor Buck-Boost), onde o limite da descontinuidade é definida pela relação (4.66). Assim:

$$\frac{1}{1-D} = \sqrt{\frac{R \cdot T}{2 \cdot L}} \quad \text{ou} \quad \frac{2 \cdot L}{T \cdot R} = (1-D)^2 \quad (4.120)$$

$$L = \frac{T \cdot R \cdot (1-D)^2}{2} = \frac{R \cdot (1-D)^2}{2 \cdot f} \quad (4.121)$$

Logo:

$$L = \frac{10(1-0,4)^2}{2 \cdot 20 \cdot 10^3} = 90 \mu\text{H}$$

- b) Neste caso tem-se:

$$\frac{V_C}{E} = \frac{D}{1-D} = \frac{0,4}{0,6} = 0,666...$$

Então:

$$V_C = 32\text{V}$$

Desse modo:

$$P_R = \frac{V_C^2}{R} = 102,4\text{W}$$

A forma de onda da corrente no indutor é mostrada na Fig. 4.20.



Fig. 4.20: Corrente no indutor L.

Portanto:

$$I_{L\text{max}} = \frac{E}{L} \cdot t_c$$

$$I_{L\text{max}} = \frac{48}{90 \mu} \cdot 20 \mu$$

$$I_{L\text{max}} = 10,67\text{A}$$

Este valor máximo de corrente circula pelo indutor, pelo transistor e pelo diodo.

- c) A potência transferida à carga é a mesma, ou seja, 102,4 W. A estrutura opera no modo de condução contínua, tendo em vista que a indutância para este caso está acima do valor que garante condução crítica (item a); portanto, a corrente no indutor L tem a forma mostrada na Fig. 4.21.

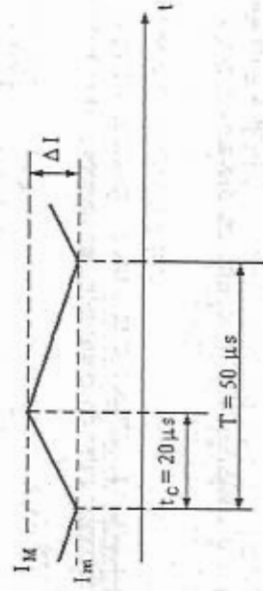


Fig. 4.21: Corrente no indutor L.

O valor da variação da corrente será:

$$\Delta I = I_M - I_m = \frac{E}{L} \cdot t_c = \frac{48}{180\mu} \cdot 20\mu = 5,333A$$

A corrente média que circula na fonte E é dada por:

$$I_{Emd} = \frac{P_R}{E} = \frac{102,4}{48} = 2,13A$$

ou ainda:

$$I_{Emd} = \frac{I_m \cdot t_c}{T} + \frac{\Delta I \cdot t_c}{2 \cdot T} \quad (4.122)$$

Assim:

$$I_m = \frac{T}{t_c} \left(I_{Emd} - \frac{\Delta I \cdot t_c}{2 \cdot T} \right) \quad (4.123)$$

$$I_m = \frac{50\mu}{20\mu} \left(2,13 - \frac{5,333 \cdot 20\mu}{2 \cdot 50\mu} \right)$$

$$I_m = 2,66A$$

Desse modo:

$$I_M = I_m + \Delta I = 2,66 + 5,333$$

Logo:

$$I_M = 8,0A$$

Constata-se que com o aumento da indutância do valor crítico ($L = 90\mu H$) para $L = 180\mu H$ (condução contínua), houve uma redução da corrente de pico nos componentes (transistor, diodo e indutor).

d) Para $L = 50\mu H$ a corrente no indutor L é descontínua e a sua forma está representada na Fig. 4.22.

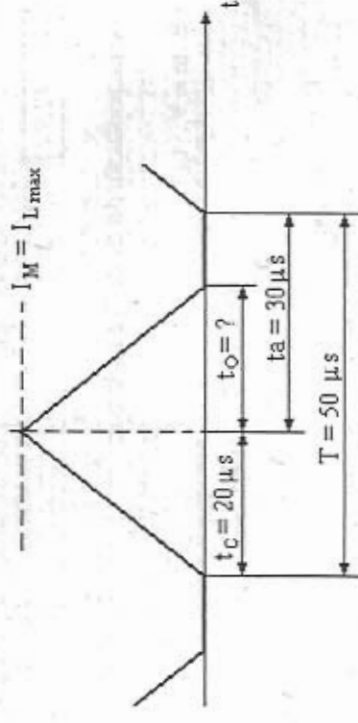


Fig. 4.22: Corrente no indutor L (condução descontínua).

Desse modo:

$$I_{Lmax} = \frac{E}{L} \cdot t_c = \frac{48}{50\mu} \cdot 20\mu = 19,2A$$

A corrente média na entrada será:

$$I_{Emd} = \frac{I_{Lmax} \cdot t_c}{2 \cdot T} = \frac{19,2 \cdot 20\mu}{2 \cdot 50\mu} = 3,84A$$

Potência de entrada:

$$P_E = E \cdot I_{Emd} = 48 \cdot 3,84 = 184,32W$$

Admitindo um rendimento de 100%, tem-se:

$$P_R = P_E \text{ (Potência de saída = Potência de entrada)}$$

$$\text{Logo: } P_R = 184,32 W$$

Assim, a corrente média na carga será:

$$I_o = \sqrt{\frac{P_R}{R}} = \sqrt{\frac{184,32}{10}} = 4,29A$$

Finalmente, a tensão média na carga é dada pela seguinte expressão:

$$V_o = R \cdot I_o = 10 \cdot 4,29$$

$$V_o = 42,9V$$

O tempo de condução do diodo D é dado por:

$$E \cdot t_c = V_o \cdot t_o$$

Então:

$$t_o = \frac{E \cdot t_c}{V_o} = \frac{48 \cdot 20 \mu}{42,9}$$

$$t_o = 22,38 \mu s$$

Desse modo, uma diminuição da indutância L provoca um aumento das correntes de pico e um aumento da potência, da tensão e da corrente de carga, mantida constante a razão cíclica.

e) Seja a Eq. (4.66) que garante condução contínua:

$$\sqrt{\frac{T \cdot R}{2 \cdot L}} = \frac{1}{1-D}$$

Desse modo:

$$f = \frac{R \cdot (1-D)^2}{2 \cdot L} = \frac{10 \cdot (1-0,4)^2}{2 \cdot 50 \cdot 10^{-6}}$$

$$f = 36 \text{ kHz}$$

Este resultado mostra claramente o interesse em fazer o conversor funcionar com frequências mais elevadas.

2º) O conversor à acumulação indutiva apresentado na Fig. 4.23 opera com frequência de 20 kHz. O capacitor de saída é suficientemente grande de forma que as variações da tensão na carga são praticamente nulas. A tensão de saída é regulada para 10V, e a potência na carga é de 10W. Admitindo uma tensão de entrada de 15V e um indutor de 50μH, determinar o valor da razão cíclica.

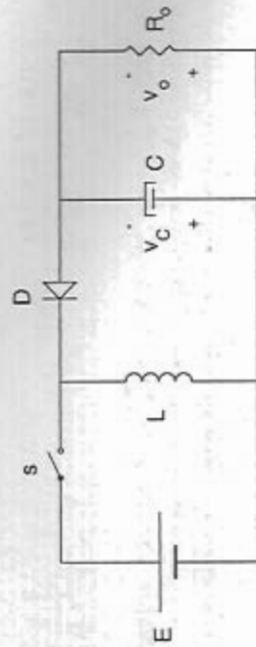


Fig. 4.23: Conversor Buck-Boost.

SOLUÇÃO

Dados do problema:

$$\begin{aligned} f &= 20 \text{ kHz} & E &= 15V \\ V_o &= 10V & L &= 50\mu H \\ P_o &= 10W & D &=? \end{aligned}$$

Para resolver este problema tem-se que determinar inicialmente qual o modo de operação deste conversor. Como primeira estimativa admitir-se-á que a estrutura opera em condução contínua. Assim:

$$\frac{V_o}{E} = \frac{D}{1-D} \therefore \frac{10}{15} = \frac{D}{1-D}$$

Logo:

$$D = 0,4 \text{ (primeira estimativa)}$$

Para este valor de razão cíclica será determinada a indutância para a qual a condução torna-se crítica (Eq. 4.46), isto é:

$$L_{crit} = \frac{D \cdot E \cdot (1-D)}{2 \cdot f \cdot I_o}$$

A corrente média na carga é obtida a partir da seguinte expressão:

$$I_o = \frac{P_o}{V_o} = \frac{10}{10} = 1A$$

Então:

$$L_{crit} = \frac{0.4 \cdot 15 \cdot (1 - 0.4)}{2 \cdot 20} = 90 \mu H$$

Verifica-se que: $L_{crit} > L$; portanto, para as condições apresentadas no enunciado do exercício o modo de operação é em condução descontínua.

No modo de operação descontínua a relação de tensões é dada pela Eq. (4.35), ou seja:

$$\frac{V_o}{E} = D \cdot \sqrt{\frac{R_o}{2 \cdot f \cdot L}}$$

Portanto:

$$D = \frac{V_o}{E} \cdot \sqrt{\frac{2 \cdot f \cdot L}{R_o}} = \frac{10}{15} \sqrt{\frac{2 \cdot 20 \cdot 10^3 \cdot 50 \mu}{10}}$$

$$D = 0.3 \quad (\text{condução descontínua})$$

3º) Deduzir as Eqs. (4.19) e (4.18).

SOLUÇÃO

A partir das Eqs. (4.14) e (4.17), tem-se:

$$I_o = (I_M + I_m) \cdot \frac{(1-D)}{2} \quad (4.124)$$

$$E = \frac{L}{D \cdot T} \cdot (I_M - I_m) \quad \therefore \quad \frac{E \cdot D \cdot T}{L} + I_m = I_M \quad (4.125)$$

Levando a Eq. (4.125) em (4.124), obtém-se:

$$I_o = \left(\frac{E \cdot D \cdot T}{L} + I_m + I_m \right) \cdot \frac{(1-D)}{2}$$

ou ainda:

$$\frac{2 \cdot I_o}{(1-D)} = \frac{E \cdot D \cdot T}{L} + 2 \cdot I_m$$

$$\left[\frac{2 \cdot I_o}{(1-D)} - \frac{E \cdot D \cdot T}{L} \right] \cdot \frac{1}{2} = I_m$$

Por fim:

$$I_m = \frac{I_o}{(1-D)} - \frac{D \cdot E}{2 \cdot L \cdot f} \quad \text{c.q.d.}$$

Analisando a Eq. (4.125), tem-se:

$$I_M = \frac{E \cdot D \cdot T}{L} + I_m$$

$$I_M = \frac{E \cdot D \cdot T}{L} + \frac{I_o}{(1-D)} - \frac{D \cdot E}{2 \cdot L \cdot f}$$

$$I_M = \frac{D \cdot E}{L \cdot f} - \frac{1}{2} \frac{D \cdot E}{L \cdot f} + \frac{I_o}{(1-D)}$$

e assim:

$$I_M = \frac{I_o}{(1-D)} + \frac{D \cdot E}{2 \cdot L \cdot f} \quad \text{c.q.d.}$$

4º) Seja a estrutura do conversor a acumulação capacitiva, representada na Fig. 4.24, onde $E = 48V$; $f = 20 \text{ kHz}$; $D = 0.4$; $R_o = 10\Omega$ e $C = 100\mu F$. Os indutores são considerados muito grandes, de modo a se poder admitir I_{LE} e I_o constantes em regime permanente. Determinar os valores das seguintes grandezas:

- Tensão média na carga $\rightarrow V_o$;
- Corrente média no indutor de saída $\rightarrow I_o$;
- Potência na carga $\rightarrow P_o$;
- Corrente média no indutor de entrada $\rightarrow I_{LEnd}$;
- Ondulação da tensão no capacitor $C \rightarrow \Delta V_C$;
- Tensão máxima no capacitor $C \rightarrow V_{CM}$;
- Tensão máxima no transistor T e no diodo D $\rightarrow V_{TM}$ e V_{DM} ;
- O valor do capacitor C de modo que a sua tensão se anule no período de funcionamento (condução crítica).

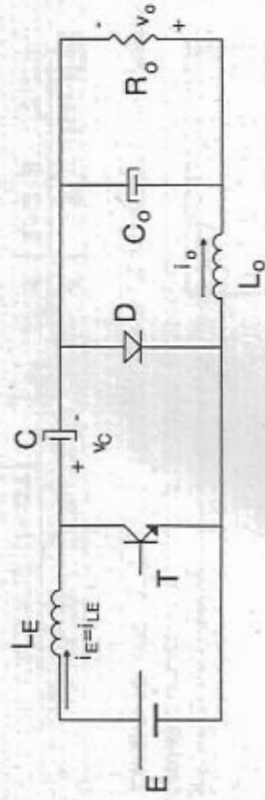


Fig. 4.24: Conversor Cúk.

SOLUÇÃO:

Antes de se iniciar os cálculos é necessário saber se o conversor opera no modo de condução contínua ou descontinua. Para isso admitir-se-á inicialmente que o conversor está no modo de condução descontinua. Assim, a partir da Eq. (4.109):

$$b = \frac{I_o}{I_E} = \sqrt{\frac{T}{2 \cdot R_o \cdot C}} \cdot (1-D) \quad (4.126)$$

sendo: $\alpha = (1-D)$

então: $\alpha = 0,6$

Através da Eq. (4.126) é possível obter-se o valor do capacitor C, ou seja:

$$C = \frac{T}{2 \cdot R_o} \cdot \frac{(1-D)^2}{b^2} \quad (4.127)$$

A quantidade de carga entregue ao capacitor C durante o intervalo de tempo t_a , é igual a quantidade de carga liberada pelo mesmo capacitor C durante o tempo t_c . Desse modo:

$$I_E \cdot t_a = I_o \cdot t_c$$

$$\text{logo: } b = \frac{I_o}{I_E} = \frac{t_a}{t_c}$$

Admitindo:

$$P_o = \frac{(V_o)^2}{R_o} = \frac{(32)^2}{10}$$

c) Potência na carga $\rightarrow P_o$;

$$I_o = 3,2A$$

$$I_o = \frac{V_o}{R_C} = \frac{32}{10}$$

b) Corrente média no indutor de carga $\rightarrow I_o$;

$$V_o = 32V$$

$$V_o = \frac{D}{1-D} \cdot E = \frac{0,4}{0,6} \cdot 48$$

As formas de onda para este caso são apresentadas na Fig. 4.15. Desse modo:

a) Tensão média na carga $\rightarrow V_o$.

$$\frac{I_E}{I_o} = \frac{D}{(1-D)} = 0,667$$

$$t_a = 30\mu s$$

$$t_c = 20\mu s$$

Como o valor do capacitor fornecido é maior que $0,4\mu F$, conclui-se que a condução é contínua. Portanto:

$$C = \frac{50\mu \cdot 0,6^2}{2 \cdot 10} = 0,4\mu F$$

e levando a Eq. (4.128) na Eq. (4.127), obtém-se:

$$b = \frac{t_a}{t_c} = \frac{(1-D)}{D} = \frac{0,6}{0,4} = 1,5 \quad (4.128)$$

$$P_o = 102,4W$$

d) Corrente média no indutor de entrada $\rightarrow I_{LEnd}$;

Admitindo-se um rendimento de 100%, tem-se:

$$P_E = P_o = 102,4W$$

Assim:

$$I_{LEnd} = \frac{P_E}{E} = \frac{102,4}{48}$$

$$I_{LEnd} = 2,13A$$

e) Ondulação da tensão no capacitor C $\rightarrow \Delta V_C$;

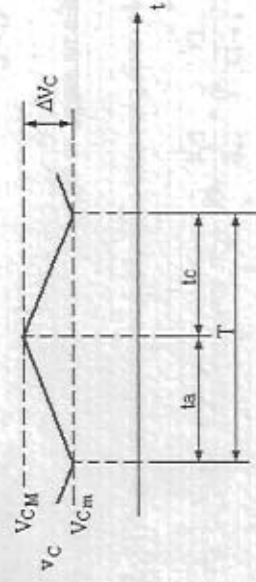


Fig. 4.25: Ondulação de tensão no Capacitor C.

A ondulação da tensão no capacitor C é obtida a partir da Eq. (4.94), isto é:

$$\Delta V_C = \frac{I_{LEnd} \cdot (1 - D)}{f \cdot C} = \frac{2,13 \cdot 0,6}{20 \cdot 10^3 \cdot 100 \cdot 10^{-6}}$$

$$\Delta V_C = 639mV$$

f) Tensão máxima no capacitor C $\rightarrow V_{CM}$.

Sabe-se que o valor de E representa o valor médio da tensão V_C , calculada no intervalo (0, t_a). Assim.

$$E = \frac{V_{CM} \cdot t_a}{T} + \frac{\Delta V_C \cdot t_d}{2 \cdot T} \quad (4.129)$$

$$V_{CM} = \frac{E \cdot T}{t_a} - \frac{\Delta V_C}{2} \quad (4.130)$$

A Eq. (4.130) representa o valor mínimo da tensão no capacitor C no modo de condução contínua. Assim:

$$V_{CM} = \frac{48 \cdot 50\mu}{30\mu} - \frac{639m}{2} \approx 79,68V$$

Portanto:

$$V_{CM} = V_{CM} + \Delta V_C \quad (4.131)$$

$$V_{CM} = 79,68 + 0,639$$

$$V_{CM} = 80,32V$$

g) Tensão máxima no transistor T e no diodo D $\rightarrow V_{TM}$ e V_{DM} .

A tensão máxima no transistor T e no diodo D é a própria tensão máxima no capacitor C. Logo:

$$V_{TM} = V_{DM} = V_{CM} = 80,32V$$

h) O valor do capacitor C de modo que a sua tensão se anule no período de funcionamento (condução crítica).

No modo de operação em condução crítica, a tensão v_C tem a forma apresentada na Fig. 4.26.

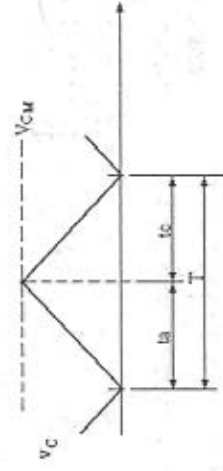


Fig. 4.26: Ondulação de tensão (condução crítica).

O limite da descontinuidade para o conversor à acumulação capacitiva (Conversor Cúk), é estabelecido pela Eq. (4.115), ou seja:

$$b = \frac{I_o}{I_E} \sqrt{\frac{T}{2 \cdot R_o \cdot C}} - 1$$

$$b = \frac{I_o}{I_E} = \frac{t_a}{t_c} = \frac{0,6}{0,4} = 1,5$$

Desse modo:

$$C = \frac{T}{2 \cdot R_o} \cdot \frac{1}{(b+1)^2} \quad (4.132)$$

A expressão (4.132) fornece o valor do capacitor C para o modo de condução crítica. Então:

$$C = \frac{50 \mu}{2 \cdot 10} \cdot \frac{1}{(1,5+1)^2}$$

$$C = 0,4 \mu F$$

Obs. Importante:

Nesse caso, analisando a Fig. 4.26, tem-se:

$$E = \frac{V_{CM} \cdot t_a}{2 \cdot T} \quad (4.133)$$

$$\text{ou ainda: } V_{CM} = \frac{2 \cdot T}{t_a} \cdot E = 2 \cdot E \cdot \frac{(t_a + t_c)}{t_a}$$

$$V_{CM} = 2 \cdot E \cdot \left(1 + \frac{1}{b} \right) \quad (4.134)$$

A Eq. (4.134) estabelece o valor máximo de tensão no capacitor C para o modo de condução crítica. Assim:

$$V_{CM} = 2 \cdot 48 \cdot \left(1 + \frac{1}{1,5} \right)$$

$$V_{CM} = 160V$$

Constata-se que uma redução no valor do capacitor C proporciona um aumento das tensões máximas a que são submetidos os componentes.

59) O conversor Cúk apresentado na Fig. 4.17, opera em condução descontínua, alimentando uma carga de 10Ω , com uma potência de $250W$. A fonte de corrente na entrada é de $10A$, e a frequência de chaveamento é de $25 kHz$. Admitindo uma razão cíclica de 70% e um rendimento de 100% , determinar:

- A tensão nos terminais da fonte de corrente (E);
- A tensão média nos terminais da carga (V_o);
- A corrente média na carga (I_o);
- O tempo durante o qual a chave S permanece em condução (t_c);
- O tempo durante o qual a chave S permanece aberta (t_a);
- O valor do capacitor C de acumulação;
- O tempo de descarga do capacitor C de acumulação (t_b);
- O tempo de descontinuidade da tensão no capacitor C;
- O valor de pico da tensão nos terminais do capacitor de acumulação (V_{CM});
- Confirmar que a condução é realmente descontínua.

SOLUÇÃO:

- Tensão nos terminais da fonte de corrente (E).

Do enunciado do exercício tem-se:

- * Conversor operando em condução descontínua.
- * $R_o = 10 \Omega$
- * $f = 25 kHz$
- * $P_o = 250W$
- * $D = 0,7$
- * $I_E = 10A$
- * Rendimento = 100%

Partindo do princípio que o rendimento é de 100% , então:

$$P_o = P_E = E \cdot I_E \Rightarrow E = \frac{P_o}{I_E} = \frac{250}{10}$$

$$E = 25V$$

- A tensão média nos terminais da carga (V_o).

A potência consumida na carga R_o pode ser obtida através da expressão:

$$P_o = \frac{V_o^2}{R_o} \Rightarrow V_o = \sqrt{P_o \cdot R_o} = \sqrt{250 \cdot 10}$$

$$\boxed{V_o = 50V}$$

Obs.: Como era de se esperar o conversor opera como elevador de tensão.

- c) Corrente média na carga (I_o).

É dada por:

$$P_o = V_o \cdot I_o \Rightarrow I_o = \frac{P_o}{V_o} = \frac{250}{50}$$

$$\boxed{I_o = 5A}$$

- d) Tempo durante o qual a chave S permanece em condução (t_c).

A razão cíclica é definida pela expressão seguinte:

$$D = \frac{t_c}{T} ; \text{ onde } T = 1/f. \text{ Assim:}$$

$$D = t_c \cdot f \Rightarrow t_c = \frac{D}{f} = \frac{0,7}{25 \cdot 10^3}$$

$$\boxed{t_c = 28\mu s}$$

- e) Tempo durante o qual a chave S permanece aberta (t_a).

O período de operação do conversor pode ser obtido a partir da equação:

$$T = t_c + t_a$$

sendo que $T = 1/f = 40\mu s$. Desse modo:

$$t_a = T - t_c = 40 - 28$$

$$\boxed{t_a = 12\mu s}$$

Outra maneira de se resolver este item seria empregando o seguinte raciocínio. Se a razão cíclica é de 70%, isso significa que durante 30% do período de operação do conversor a chave S permanece aberta. Logo:

$$t_a = 0,3 \cdot T = 0,3 \cdot 40$$

$$\boxed{t_a = 12\mu s}$$

- f) Valor do capacitor C de acumulação.

A partir da Eq. (4.117), tem-se:

$$b = \sqrt{\frac{T}{2 \cdot R_o \cdot C}} \cdot (1 - D)$$

onde $b = \frac{I_o}{I_E}$, logo:

$$\frac{I_o}{I_E} = \sqrt{\frac{T}{2 \cdot R_o \cdot C}} \cdot (1 - D)$$

ou ainda:

$$\left[\frac{I_o}{I_E} \cdot \frac{1}{(1 - D)} \right]^2 = \frac{T}{2 \cdot R_o \cdot C}$$

$$\boxed{C = \left[\frac{I_o}{I_E} \cdot \frac{1}{(1 - D)} \right]^2 \cdot \frac{1}{2 \cdot R_o \cdot f}}$$

Substituindo os respectivos valores dos parâmetros na equação anterior, obtem-se:

$$C = \left[\frac{10}{5} \cdot \frac{1}{(1 - 0,7)} \right]^2 \cdot \frac{1}{2 \cdot 10 \cdot 25 \cdot 10^3}$$

$$\boxed{C = 0,72\mu F}$$

g) Tempo de descarga do capacitor C de acumulação (t_o).

Através da Fig. 4.18 fica claro que a corrente média no capacitor C, durante um período de funcionamento do conversor, é nula. Desse modo:

$$I_E \cdot t_a = I_o \cdot t_o$$

Portanto,

$$t_o = \frac{I_E \cdot t_a}{I_o} = \frac{10 \cdot 12 \mu}{5}$$

$$t_o = 24 \mu s$$

h) Tempo de descontinuidade da tensão no capacitor C.

Conforme a Fig. 4.18, o tempo de descontinuidade de tensão no capacitor C é dado por:

$$t_{desc} = t_c - t_o$$

$$\text{Então: } t_{desc} = 28 \mu s - 24 \mu s$$

$$t_{desc} = 4 \mu s$$

i) Valor de pico da tensão nos terminais do capacitor de acumulação (V_{CM}).

A tensão de pico nos terminais do capacitor de acumulação pode ser obtida a partir da Eq. (4.102). Assim:

$$t_o = \frac{C \cdot V_{CM}}{I_o}$$

Então:

$$V_{CM} = \frac{I_o \cdot t_o}{C} = \frac{5 \cdot 24 \mu}{0,72 \mu}$$

$$V_{CM} = 166,67 V$$

j) Confirmar que a condução é realmente descontinua.

Para que a condução seja descontinua tem-se que:

$$b > \frac{(1-D)}{D}$$

Logo:

$$b = \frac{I_o}{I_E} = \frac{5}{10} = 0,5$$

$$\frac{(1-D)}{D} = \frac{1-0,7}{0,7} = 0,43$$

Portanto:

$$b > \frac{(1-D)}{D} \rightarrow \text{condução descontinua.}$$

Obs.: Nas situações em que $b < (1-D)/D$, tem-se condução contínua.

- 69) O circuito da Fig. 4.27 opera em condução crítica, com uma potência de 300W. A tensão média nos terminais da carga é de 20V, e a fonte de corrente na entrada é de 10A. A frequência de chaveamento é de 40kHz. Supondo que toda a potência transferida a carga se processa sem perdas, determinar:
- O valor da resistência de carga (R_o);
 - A corrente média na carga (I_o);
 - A tensão nos terminais da fonte de corrente (E);
 - A razão cíclica de operação (D);
 - O tempo durante o qual a chave S permanece em condução (t_c);
 - O tempo durante o qual a chave S permanece aberta (t_a);
 - O tempo de descarga do capacitor C de acumulação (t_o);
 - O tempo de descontinuidade da tensão no capacitor C;
 - O valor do capacitor C de acumulação;
 - O valor da tensão máxima nos terminais do capacitor C (V_{CM}).

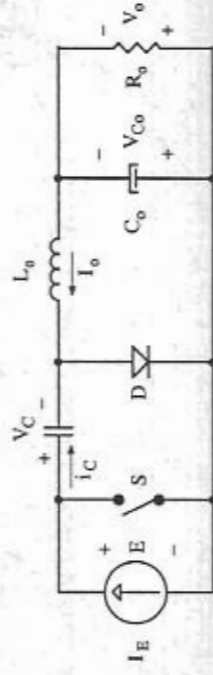


Fig. 4.27: Conversor à acumulação capacitiva.

SOLUÇÃO:

Os dados fundamentais apresentados no enunciado do exercício são:

- * O conversor opera em condução crítica.
- * $P_o = 300W$
- * $f = 40kHz \Rightarrow T = 25\mu s$
- * $V_o = 20V$
- * $V_o = 100\%$
- * $I_F = 10A$

Através dessas informações é possível se determinar:

- a) Valor da resistência de carga (R_o).

O valor da resistência de carga é dado por:

$$P_o = \frac{V_o^2}{R_o} \Rightarrow R_o = \frac{V_o^2}{P_o} = \frac{20^2}{300}$$

$$R_0 = 1,33\Omega$$

- b) A corrente média na carga (I_o):

É obtida através da expressão:

$$P_o = V_o \cdot I_o \Rightarrow I_o = \frac{P_o}{V_o} = \frac{300}{20}$$

$$I_0 = 15 \text{ A}$$

- c) A tensão nos terminais da fonte de corrente (E).

Tendo em vista que a transferência de potência da fonte para a carga se processa sem perdas, então:

$$P_0 = P_F$$

Assim:

$$V_0 \cdot I_0 = E \cdot I_E \Rightarrow E = \frac{V_0 \cdot I_0}{I_E} = \frac{20 \cdot 15}{10}$$

$$E = 30 \text{ V}$$

Verifica-se, portanto, que o conversor opera como abaixador de tensão. Logo, sua razão cíclica deverá ser menor que 0,5.

- d) A razão cíclica de operação (D).

Em condução crítica a seguinte equação é válida:

$$b = \frac{(1-D)}{D}$$

ou seja:

$$D = \frac{1}{(1+b)}$$

onde $b = \frac{I_o}{I_F} = \frac{15}{10}$ $\Rightarrow b = 1,5$

Desse modo,

$$D = \frac{1}{(1+b)} = \frac{1}{(1+1.5)}$$

$$\overline{D} = 0,4$$

- e) Tempo durante o qual a chave S permanece em condução (t_c).

Por definição tem-se que:

$$D = \frac{l_c}{T} \Rightarrow l_c = D \cdot T = \frac{D}{f} = \frac{0,4}{40 \cdot 10^3}$$

$$t_c = 10 \mu s$$

- f) Tempo durante o qual a chave S permanece aberta (t_a).

Sabe-se que:

$$T = t_c + t_a \Rightarrow t_a = T - t_c = 25 - 10$$

$$t_a = 15 \mu s$$

g) Tempo de descarga do capacitor C de acumulação (t_0).

Em condução crítica o tempo de descarga do capacitor C de acumulação (t_0), coincide com o tempo durante o qual a chave S permanece em condução (t_c), ou seja:

$$t_0 = t_c = 10 \mu s$$

h) Tempo de descontinuidade da tensão no capacitor C.

Baseado na resposta apresentada no item anterior, em condução crítica não há descontinuidade na tensão do capacitor de acumulação ($t_0 = t_a$). A tensão no capacitor de acumulação se anula no exato momento em que a chave S abre, reiniciando o processo de carga do capacitor C e, portanto, o crescimento da tensão em seus terminais (veja Fig. 4.26 do item h do exercício resolvido nº 4).

i) Valor do capacitor C de acumulação.

O limite da descontinuidade do conversor Cúk é estabelecido pela Eq. (4.115), isto é:

$$b = \sqrt{\frac{T}{2 \cdot R_o \cdot C}} - 1$$

Trabalhando a expressão anterior.

$$(1+b)^2 = \frac{T}{2 \cdot R_o \cdot C}$$

ou seja:

$$C = \frac{T}{2 \cdot R_o \cdot (1+b)^2}$$

$$\text{sendo } D = \frac{1}{(1+b)} \Rightarrow \frac{1}{(1-b)^2} = D^2$$

Então;

$$C = \frac{D^2}{2 \cdot R_o \cdot f}$$

$$C = \frac{0,4^2}{2 \cdot 1,33 \cdot 40 \cdot 10^3} \Rightarrow \boxed{C = 1,5 \mu F}$$

j) Valor da tensão máxima nos terminais do capacitor C (V_{CM}).

O valor de V_{CM} é dado por:

$$V_{CM} = \frac{I_E \cdot t_a}{C} = \frac{10 \cdot 15 \mu}{1,5 \mu}$$

$$\boxed{V_{CM} = 100 V}$$

4.4.2. EXERCÍCIOS PROPOSTOS

- 1º) O Conversor Buck-Boost da Fig. 4.28 tem uma tensão de entrada $E = 12V$. A razão cíclica $D = 0,25$ e a frequência de chaveamento é de 25 kHz. A indutância $L = 150 \mu H$ e a capacitância de filtragem $C = 220 \mu F$. O valor médio da corrente de carga $I_o = 1,25 A$. Determinar:
- A tensão média de saída V_o ;
 - A ondulação pico-a-pico da tensão de saída ΔV_o ;
 - A ondulação pico-a-pico da corrente no indutor L ;
 - A corrente máxima na chave S;
 - A potência de saída P_o ;
 - O valor do resistor de carga R .

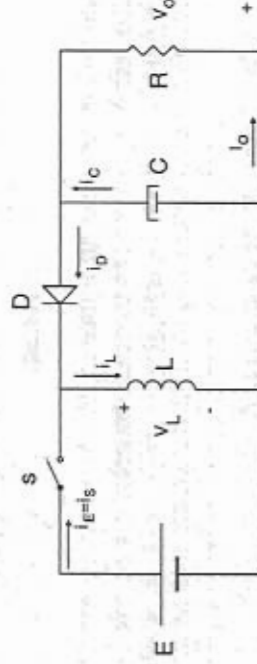


Fig. 4.28.

2º) Deduzir a Eq. (4.13) apresentada a seguir.

$$I_o = I_{Dmd} = \frac{1}{T} \int_0^T i_D(t) dt$$

3º) Deduzir a Eq. (4.39).

4º) Seja o conversor CC-CC à acumulação indutiva representado na Fig. 4.29, onde: $E_1 = 100V$; $E_2 = 60V$; $f = 10 \text{ kHz}$ e $P_o = 120W$. Calcular:

- A indutância L para que a condução seja crítica;
- O valor da razão cíclica D , para $L = L_{crit} / 2$, para manter o mesmo valor da potência de saída.

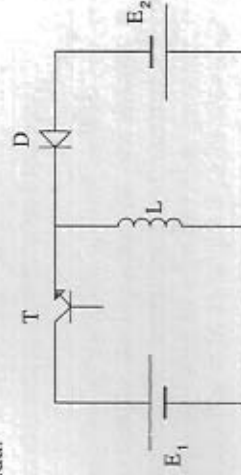


Fig. 4.29.

5º) Seja o conversor Buck-Boost apresentado na Fig. 4.30.

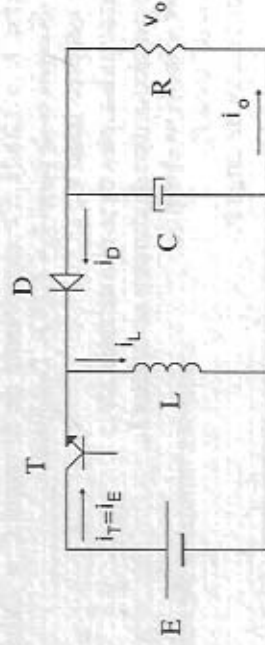


Fig. 4.30.

onde: $E = 20V$
 $f = 100 \text{ kHz}$
 $C = 470\mu F$
 $R = 10\Omega$
 $D = 0,6$ (razão cíclica)
 $L = 24\mu H$

Calcular:

- A tensão média e a corrente média na carga, V_o e I_o ;
- A potência de saída e a potência de entrada, P_o e P_E ;
- A corrente média e a corrente eficaz no diodo D , I_{Dmd} e I_{Def} ;
- A corrente média e eficaz no transistor T , I_{Tmd} e I_{Tef} ;
- A corrente média e eficaz no indutor L , I_{Lmd} e I_{Leff} ;

- A ondulação da tensão no capacitor C , ΔV_C ;
- A ondulação da corrente no indutor L , ΔI_L .

6º) Deduzir as Eqs. (4.43) e (4.44) obtidas para o modo de condução descontínua do conversor Buck-Boost.

7º) O Conversor Cúk mostrado na Fig. 4.31 apresenta os seguintes dados:

- * Tensão de entrada; $E = 12V$.
- * Razão Cíclica; $D = 0,25$.
- * Frequência de chaveamento; $f = 25 \text{ kHz}$.
- * Indutância de filtragem; $L_o = 150\mu H$.
- * Capacitância de filtragem; $C_o = 220\mu F$.
- * Capacitância de transferência de energia; $C = 200\mu F$.
- * Indutância de entrada; $L_E = 200\mu H$.
- * Corrente média na carga; $I_o = 1,25A$.

A partir destes dados e sabendo que a condução é contínua, determinar:

- Tensão média na carga; V_o ;
- Corrente média na entrada; I_{Emd} ;
- Ondulação de corrente no indutor de entrada; ΔI_E ;
- Ondulação de tensão no capacitor C ; ΔV_C ;
- Ondulação de corrente no indutor L_o ; ΔI_o ;
- Ondulação de tensão no capacitor C_o ; ΔV_o ;
- Corrente máxima no transistor T ; I_{TM} .

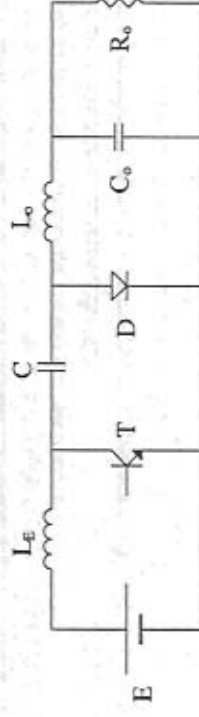


Fig. 4.31.

8º) O Conversor a acumulação capacitiva apresentado na Fig. 4.17, opera em condução descontínua, com uma razão cíclica de 60%. A potência e a corrente na carga valem respectivamente 450W e 15A. A frequência de operação é de 20kHz, e a fonte de corrente na entrada é de 20A. Admitindo que o conversor opera sem perdas internas, calcular:

- A tensão média na carga (V_o);
- A resistência de carga (R_o);
- A tensão média nos terminais da fonte de corrente (E);
- O tempo durante o qual a chave S permanece em condução(t_c);
- O tempo durante o qual a chave S permanece aberta (t_a);

- f) O tempo de descarga do capacitor C de acumulação (t_d);
 g) O tempo de descontinuidade da tensão no capacitor C;
 h) O valor do capacitor C de acumulação;
 i) O valor de pico da tensão nos terminais do capacitor de acumulação (V_{CM});
 j) Confirmar que a condução é realmente descontínua;
 k) Qual o procedimento para tornar a operação deste conversor em condução contínua, sem alterar os parâmetros elétricos do circuito?
- 9^o) Refazer o exercício resolvido nº 5, considerando o conversor operando no modo de condução contínua.
 Obs.: Nenhum componente elétrico, que faça parte do circuito, deve ser alterado (a resistência R_o não faz parte do circuito, ela pertence à carga).
- 10^o) Seja o conversor mostrado na Fig. 4.17, operando a 500W. As correntes média de entrada e de saída são respectivamente 20A e 10A. A frequência de chaveamento é de 25kHz. Supondo que as perdas de condução e comutação do conversor sejam nulas, e que o mesmo opere no modo de condução crítica, calcular:
- A tensão média na carga (V_o);
 - O valor da resistência de carga (R_o);
 - A tensão média nos terminais da fonte de corrente (E);
 - O valor do parâmetro b;
 - A razão cíclica de operação (D);
 - O tempo de condução da chave S (t_c);
 - O tempo durante o qual a chave S permanece aberta (t_a);
 - O tempo de descarga do capacitor C de acumulação (t_d);
 - O tempo de descontinuidade da tensão no capacitor C;
 - O valor do capacitor de acumulação (C);
 - O valor da tensão máxima nos terminais do capacitor C (V_{CM});
 - A tensão e a corrente de pico na chave S (V_{Smax} , I_{Smax}).

REFERÊNCIAS BIBLIOGRÁFICAS

- [1] I. Barbi, *Eletrônica de Potência II*. Publicação Interna. Curso de Pós-Graduação em Engenharia Elétrica, UFSC-EEL-INEP, Florianópolis-SC, 1988.
- [2] M.H. Rashid, *Power Electronics-Circuits, Devices, and Applications*. Prentice-Hall International Editions, Inc., New Jersey, 1988.
- [3] N. Mohan, T. Undeland & W. Robbins, *Power Electronics: Converters, Applications and Design*. John Wiley & Sons, New York-USA, 1989.
- [4] B.W. Williams, *Power Electronics-Devices, Drivers, Applications and Passive Components*. McGraw-Hill, Inc., New York-USA, Second Edition, 1992.
- [5] I. Barbi, *Projetos de Fontes Chaveadas*. Publicação Interna, UFSC-EEL-INEP, Florianópolis-SC, 1990.
- [6] A.I. Pressman, *Switching Power Supply Design*. McGraw-Hill, Inc., New York-USA, 1991.
- [7] M. Brown/MOTOROLA, *Practical Switching Power Supply Design*. Academic Press, Inc., San Diego, California-USA, 1990.
- [8] S. Cúk & R.D. Middlebrook, "Advances in Switched Mode Power Conversion", *IEEE Transactions on Industrial Electronics*, Vol. IE30, Nº 1, pp.10-29, 1983.